

Министерство геологии СССР

ДАЛЬНЕВОСТОЧНОЕ ТЕРИТОРИАЛЬНОЕ ГЕОЛОГИЧЕСКОЕ УПРАВЛЕНИЕ

ГОСУДАРСТВЕННАЯ
ГЕОЛОГИЧЕСКАЯ
КАРТА СССР

масштаба 1:200 000

Серия Дальневосточная

Лист № - 53-IX

ОБЪЯСНИТЕЛЬНАЯ ЗАПИСКА

Составил В.Н.Погоряков
Редактор В.И.Суслов

Утверждено Научно-редакционным советом ВСЕГЕИ
2 декабря 1972 г., протокол № 27

Москва 1978

С о д е р ж а н и е

Стр.

Введение	3
Теологическая изученность	5
Стратиграфия	8
Интузивные образования	34
Тектоника	48
Геоморфология	56
Полезные ископаемые	60
Полезные воды	65
Оценка перспектив района	67
Литература	71
Список проявлений полезных ископаемых	74

В В Е Д Е Н И Е

Территория листа №-53-IX, ограниченная координатами $54^{\circ}40'$ – $55^{\circ}20'$ с.ш. и $134^{\circ}-135^{\circ}$ в.д., административно входит в Тутуро-Чумиканский район Хабаровского края. Большая часть ее охватывает отроги хр.Лягчук – хребты Немереканский, Тужинский, Саладжак, Капча; небольшая площадь на юго-западе принадлежит системе Малого хребта. Лягчукские отроги, ориентированы преимущественно меридионально, имеют абсолютные высоты 1000–1738 м, относительные превышения – 600–1000 м. Майский хребет (абсолютные отметки 1000–1268 м) субширотного простирания, относительные превышения его вершин над долиной р.Мая достигают 1000 м. Юго-восточную часть территории занимает выполненная низкогорье с абсолютными отметками водоразделов 300–400 м, а отдельных вершин до 600–700 м. Минимальные абсолютные отметки (до 45 м) приходятся на долины притоков р.Уда в юго-восточной части территории.

Пидросеть района представляет левые притоки р.Уда. Наиболее крупный из них – р.Мая течет в юго-восточном направлении на протяжении 45 км. Русло реки шириной 120–170 м разветвляется на множество проток, меандрирующих в широкой (4–5 км) долине. Глубина реки 2–3,5 м на пlesах и 0,8–1,3 м на перекатах, скорость течения 0,8–1,8 м/с. В пределах района на всем протяжении р.Мая притоками для передвижения на моторных лодках. Лесостепь возможен, но затруднен из-за обилия проток и нестабильности режима. Уклон тальвега реки 0,0017. Второй по величине рекой района является р.Джана, протекающая в юго-восточном направлении. Долина реки шириной 1,5–2 гм на севере ниже Тужинского хребта расширяется до 6–7 км. Ширина русла 40–60 м, глубина 0,6–1 м на перекатах и 1,5–2 м на пlesах. Скорость течения 1,5–2,5 м/с. Уклон тальвега 0,004. Многочисленные перекаты, протоки и заливы препятствуют передвижению по реке мотор-

ных лодок и делают ее непригодной для лесосплава. Менее крупные притоки р. Улы - реки Немерикан, Туткана и Гуткана. Лесосплав и перевозка на моторных лодках по этим рекам невозможны.

Для всех рек района характерно непостоянство водного режима.

Во время паводков и летних паводков уровень воды в реках быстро поднимается до 1,5-2 м в мелких реках и до 3-5 м в таких, как Мая и Дженга. Спад воды происходит в течение 3-4 дней. В засушливое время реки малы.

Близость территории к побережью Охотского моря преподносит муссонный характер климата. Летом ветры дуют преимущественно с моря на сушу, а зимой с суши на море, обусловливая прохладное влажное лето и сухую морозную зиму. По данным метеостанции "Джана", расположенной на южном листе, среднегодовая температура (за период с 1960 г. по 1970 г.) составляет $-5,7^{\circ}$, продолжительность устойчивых морозов - 166 дней. Средняя продолжительность безморозного периода (от последних весенних до первых осенних заморозков) - 73 дня. Среднегодовое количество осадков равно 332 мм, причем наименьшее количество осадков (228 мм) выпадает в теплый период, с мая по сентябрь. Суровые климатические условия предопределяют по всеместное развитие в районе многолетней мерзлоты, мощность которой 10-30 м. На склонах северной экспозиции и на заходящих участках верхних границ тундры ее фиксируется непосредственно под моховым покровом, на остальных участках мощность деятельного слоя к концу лета достигает 1-1,2 м, реже до 2,5-3 м.

Распределение растительности в районе подчиняется вертикальной зональности. В долинах рек растут лиственница, ель, береза, тополь с густым подлеском. На склонах водоразделов по высоте 300-400 м растет лиственница, береза, узлование места покрытия густым снегом. На высотах 400-800 м преобладают труднопроходимые заросли кедрового стланника, который изолированными скоплениями встречается до высоты 1000 м. Выше, в горной зоне, произрастают ивы и яблони.

В долинах всех крупных рек района имеется тролл, пригодные для промывания вымпленного оленного транспорта. В зимнее время по полным крупных рек возможна перевозка грузов на вездеходах. Основным же транспортом в промыслах района является вертолет.

На территории находятся метеостанция "Джана", где постоянно проживает 3-4 человека. Ближайший наиболее крупный населенный пункт - районный центр пос. Чумкан расположен в 80 км от центра листа на юго-восток. В нем проживает около 1500 человек населения. Кроме районных администраций и общественных организаций, в поселке имеется почта, телеграф, больница, школа, госбанк. Здесь же разме-

щается пражжение колхоза им. ХХII партсъезда. Второй по величине населенный пункт - пос. Ульское, расположенный в 60 км к югу от центра листа. Численность населения достигает 300 человек. Здесь имеются почта, школа, отделение соцстраха и метеостанция. Вблизи поселка находится база Ульской экспедиции ДВГУ.

Обнаженность района неравномерная. В области выпаденного изогорья (юго-восточная часть территории) коренные обнажения встречаются крайне редко. На оставшихся плоскостях относительно хорошо обнажены трубы водоразделов и ложные водотоки, в бортах по- следних довольно часто протяжение скальных выходов коренных пород.

Район характеризуется плоской, а участками очень плоской проходностью. Обнажения трубы водоразделов и ложные водотоки, в бортах последних довольно часто протяжение скальных выходов коренных пород.

ГЕОЛОГИЧЕСКАЯ ИЗУЧЕННОСТЬ

Первые сведения о геолого-географических особенностях, растительном и животном мире района появились в результате маршрутных исследований Н.Г.Мельникова (1860-1861 гг.), А.Ф.Мильдендорфа (1874 г.), К.П.Богдановича (1895-1898 гг.) и К.В.Гроховского (1911-1912 гг.).

В 1943 г. М.М.Михайлов провел поисковые работы на золото и другие полезные ископаемые в бассейне Джана. Им были выделены лоджорийские, палеозойские, кайнозойские стратиграфические и интрузивные образования. Более детальные геологические исследования на территории были проведены в 1949 г. Н.А.Раковым [28], составившим геологическую карту №-са 1:500 000. Она была использована при составлении Государственной геологической карты №-са 1:1 000 000 листа №-53 [10]. Н.А.Раков выделил архейские гнейсы и кристаллические сланцы, инъекционные гранито-гнейсы, верхнетерверозит-хис-ниженебозитовые, палеозойские и верхнейорские-нижнемеловые вулканическо-осадочные образования, среди которых - протерозойские, герцинские и дарвинитовые гранитоиды.

В 1957-1961 гг. территория района была покрыта аэрофотометрической съемкой №-са 1:200 000 [32-35]. На основании этих материалов в 1962 г. издана карта аномального магнитного поля листа №-53-IX [4].

В 1965-1966 гг. западное Приколыте, куда входит площадь листа, была покрыта гравиметрической съемкой в масштабе 1:1 000 000 [29]. В 1963-1966 гг. на территории листа №-53-IX В.И.Орлов [30] и М.И.Луборин [26] провели обзорные поиски российского золота. Эти работы не имели изменений в существование представления о геологическом строении района.

Большую роль в расширении геологической позитивы района сыграли региональные исследования, проведенные в зоне Становка-Дутла-Джура Д.С.Коржинским [8], Д.К.Левановским [5], Н.Г.Соловьевым [18], В.Н.Молчаним [14,15,16], а в Западном Приохочье - Л.И.Красненком [17].

В 1967-1970 гг. на территории описываемого листа под руководством автора занески при участии В. Е. Чепчина, И. В. Кознеровой, В. П. Панюка и А. В. Детяненко произведены геологическая съемка и поиски м-ба I:200 000 [25]. Результаты этих работ послужили основой для составления Государственной геологической карты и карты полезных ископаемых листа № 53-ГК. Кроме того, использованы данные аэромагнитной и гравиметрической съемки, результаты ленифирирования аэроботоснимков; учтены также материалы геологической съемки I:200 000 сопредельных территорий [3, 6, 20-24, 27, 31, 34, 36]. Аэрофотоснимки (м-б I:28 000) хорошего качества, ленифирируемости их неравномерная, чаще плохая. Наиболее четко ленифирируются разрывные нарушения, четвертичные аллювиальные отложения и субигматические интрузии. Значительная информация получена при геоморфологическом ленифирировании. На карте аномального магнитного поля территории листа № 53-ГК (рис. I) четко делится на две части: северную, сложенную породами докембрия и характеризующуюся спокойным магнитным полем, и южную, где развито преимущественно мезозойско-кембрийские куплоногенно-осадочные образования, для которых характерно сложное дифференцированное знакопеременное магнитное поле. Массивы мезозойских гранитоидов выделяются в виде слабо дифференцированных положительных магнитных аномалий. По данным гравиметрической съемки, значения силы тяжести плавно меняются от стратиграфических в северной части листа на положительные в южной.

Большинство геохимических данных, приведенных в записке, получено в Центральной лаборатории ДВГУ: химические анализы выполнены А.Д. Зылгостевой и Л.И. Куковой, спектральные - Г.Г. Павличенко и Е.Г. Шаровой, определение абсолютного возраста город - Т.К. Ковалевской, палеонтологические анализы - Л.Д. Казачихиной и И.Б. Мамонтовой. Остатки ископаемой флоры определены М.М. Комилем (ДВГУ) и И.Н. Стrelцовой (ВСЕГИ). онколиты и катаграфии в известняках верхнего бородьинской (ВСЕГИ), онколиты и катаграфии в известняках верхнего протерозоя - А.Г. Постеловым (Западно-Сибирское ГГУ).

Принципиальная увязка Государственной геологической карты листа № 53-IX с соседними листами достигнута. Частные немножко замечания в следующем.

На листе №-53-III [20] метаморфические образования и породы габбро-анортозитового комплекса бассейна рек Ульчукан, Уганак отнесены к раннему протерозой. В соответствии с новыми данными, полу-

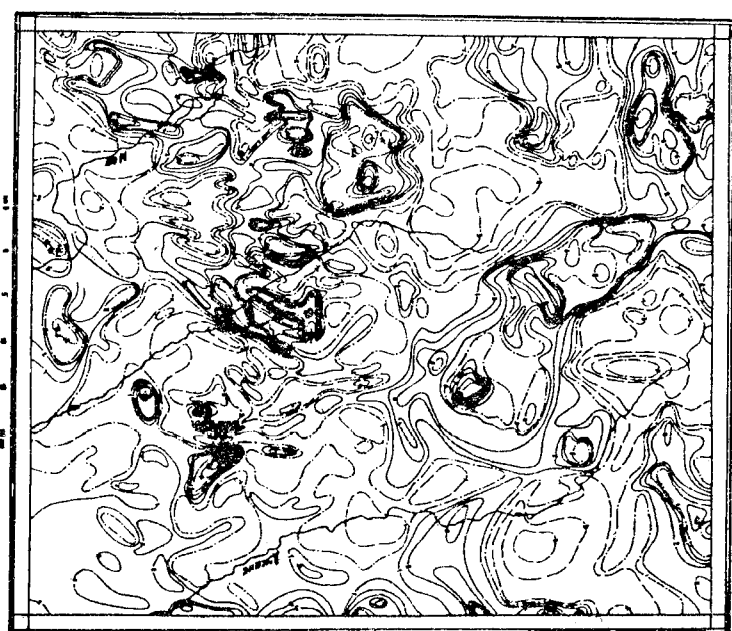


Рис. I. Карта аномального магнитного поля (изотилии ΔT_a). Масштаб 1:500 000

Изотипы (ΔT) в миллиардах (м β): 1 - пологие; 2 - отрицательные; 3 - нулевые; 4 - точки экстремумов (ΔT) и их значения в миллиардах.

ченных автором записи, а также А.Ф. Васкним [23] и Б.Л. Годзевицем [24], эти образования считаются архейскими.

С соседним с востока листом [34] связана свиты к разнотиповой тектонике возраста гранитоидов Джен-Кранского массива. На листе №-53-Х они отнесены к ранненижнемеловому ульчскому комплексу,

а на территории рассматриваемого листа — к поздненижнемеловому джуликскому. Кроме того, выделяемый на листе №-53-Х поздненижнемеловой шток гранитопирит-порфиров на отсыпаемом листе отнесен к краево-вой фации гранитоидов Джен-Кранского массива.

На листе №-53-Х [36] в западной части междуречья Мая-Нанчикан выделена верхнеджелонская свита, однако, в соответствии с частным геологическим разрезом, составленным на левобережье Мая, здесь развита нижнеджелонская свита, разрез которой наращивает-ся к северу.

С Т Р А Т И Г Р А Ф И Я

Стратифицируемые образования территории представлены метаморфическими породами архей и нижнего протерозоя, вулканогенно-карбонатными образованиями верхнего протерозоя, осадочно-вулканогенной толщей верхнеуральского-нижненемелового возраста, четвертичными элювиально-делювиальными, аллювиальными и ледниковых отложениями.

АРХЕЙСКАЯ ГРУППА

Д ж а н и с к а я с е р и я

Метаморфические породы архей широко распространены в северной части листа, в бассейнах Ульчунь, Игтанды, Уганак, Баранда. Кроме того, они закартированы на двух изолированных участках в бассейнах Лильинку и Лильинку-Макиг.

Породы архей, первично метаморфизованные в условиях трансформовой фации, в раннем проптерозое претерпели дифторез, изобиальный прогрессивному метаморфизму пород нижнего протерозоя. Парагенетические ассоциации минералов характерные для амфиболитовой фации метаморфизма (без учета направленности метаморфических процессов), ранее служили основанием для отнесения дифторитрованных архейских образований к Лучинской серии нижнего протерозоя [20]. В соответствии с решением 2-го Дальневосточного стратиграфического совещания, состоявшегося в 1965 г., метаморфические образования бассейна среднего течения р.Джана отнесены к джанинской серии, ко-

торая сопоставляется с Курультинской серией архей западной части зоны Становника-Джуликана.

В пределах настоящего листа джанинская серия подразделена на три свиты: Курелахскую, Ульчунскую и Игтандинскую.

Курелахская свита (Ар к1)

Свита развита в северной части территории (бассейны Ульчунь, Игтанды, Уганак) и в изолированных тектонических блоках в бассейне Игтанду-Макиг. Контакты курелахской свиты с другими свитами архея тектонические, поэтому положение ее в разрезе джанинской серии нескошко условно. Отнесение свиты к основанию серии базируется на общем наращивании разреза последней в южном направлении при согласном налегании игтандинской свиты на ульчунскую. Кроме того, к стратиграфическому уровню курелахской свиты практически отсутствуют среди массивов архейских габборокров, практически отсутствующих среди об разований ульчунской и игтандинской свит, что может свидетельствовать о более глубоком залегании срезе северной части листа.

Курелахская свита представлена амфиболовыми (аполироксеновыми) кристаллическими сланцами и гнейсами, содержащими прослои биотитовых, биотит-пироксеновых, биотит-амфиболовых, иногда траппий-кварцитов. Изредка встречаются маломощные прослои гранатосодержащих гнейсов. Изредка встречаются мало мощные прослои кварцитов.

Вследствие широко проявленной разрывной тектоники, непрерывный разрез свиты не составлен. Частные разрезы ее изучены в ряде участков.

На правобережье Джана, выше устья р.Уганак, канавами вскрыты (в м):

Кристаллические сланцы и гнейсы амфиболовые (аполироксеновые) 130

Кристаллические сланцы и гнейсы пироксеновые 160

Гнейсы биотитовые, биотит-пироксеновые 50

Кристаллические сланцы амфиболовые 40

Гнейсы биотит-амфиболовые, грауб-пироксеновые, пересекающиеся с амфиболовыми кристаллическими сланцами 120

Кристаллические сланцы амфиболовые и биотит-амфиболовые с прослоями биотитовых, грауб-биотитовых гнейсов в верхах пачки 100

Всего 600 м

Более высокая часть разреза кургальской свиты изучена с помощью горных выработок в бассейне Ульчуний, где залегают (в м):

Кристаллические сланцы проксеноны с редкими	
блотит-проксеноновых гнейсов	450
Гнейсы блотит-проксеноны, переслаивающиеся	
с проксеноновыми кристаллическими сланцами	120
Гнейсы блотит-проксеноны	180
Всего	750 м

В целом свита хорошо выражена по простиранию. Для нее характерен монотонный состав при резком преобладании проксенонов и антибластовых кристаллических сланцев и гнейсов, что существенно отличает ее от других свит джаминской серии. Аналогичный состав и строение свита отмечен и в выступах Чогарской глыбы (зарховья Немерикана).

Мощность кургальской свиты в пределах описываемой территории оценивается в 1100-1200 м, хотя сложность дислокационной тектоники делает эту цифру весьма условной.

Ульчунская свита (AR 1^o)

Эта свита обнажена на правобережье верхнего течения р. Ульчунь и в бассейне нижнего течения р. Артык. В тектоническом блоке (около 20 км²) свита застянута также в нижнем течении Джилик. Сложенна она гранит-транатовыми, гранит-блотитовыми, гранат-пироксеновыми, блотит-пироксеновыми, графитовыми, блотитовыми гнейсами. В них прослеживаются проксеноны, блотит-проксеноны кристаллические сланцы и мраморы. Благодаря своеобразному набору пород свита является маркерной в разрезе джаминской серии. С кургальской свитой она контактирует по системе субширотных северо-западных разломов.

Наиболее полный разрез свиты составлен с помощью горных выработок и по коренным выходам в долине правой составляющей р. Ульчунь на проходящем верхней части разреза кургальской свиты. Здесь залегают (в м):

Гнейсы блотит-проксеноны гранатогранатовые	50
Кристаллические сланцы проксеноны	25
Пачка чередующихся гранит-транатовых и гранат-блотит-проксеноновых гнейсов	120
Кристаллические сланцы блотит-проксеноны	30
Гнейсы гранат-блотит-проксеноны с прослонами проксеноновых, гранит-блотитовых гнейсов и пироксеноевых кристаллических сланцев	225

Гнейсы гранит-транатовые, гранитовые, гранит-транатодержащие блотит-проксеноновые гнейсы

570

Проксеноны кристаллические сланцы с гранитом, в основании пачки гранат-блотит-проксеноны гнейсы (20 м)

100

Гнейсы блотит-проксеноны с прослонами гранит-блотитовых, гранит-блотитовых, гранит-транатовых гнейсов

120

Гнейсы проксеноны, блотит-проксеноны с прослонами гранит-транатовых, гранит-блотитовых гнейсов

30

Кристаллические сланцы проксеноны гнейсы проксеноны

40

Гнейсы проксеноны, блотит-проксеноны

50

Гнейсы гранат-блотит-проксеноны

45

Кристаллические сланцы проксеноны с прослонами гранит-блотитовых гнейсов

95

Гнейсы и кристаллические сланцы проксеноны, частично гранатодержащие, в основании пачки гранит-транатовые гнейсы

160

Гнейсы и кристаллические сланцы проксеноны, частично гранатодержащие, в основании пачки гранит-транатовые гнейсы

130

Всего

1900 м

Помимо пород, упомянутых в разрезе, в составе свиты встречаются пласты мраморов мощностью от 5 до 60 м (бассейны рек Артык, Джилик). В каждом блоке, представленном собой северо-восточное окончание Чогарского глыбового полигона, разрез ульчунской свиты отличается почти полным отсутствием лейкоритовых гранитовых и гранит-транатовых гнейсов. Не исключено, что в бассейне Джилику сформируются более высокие горизонты свиты.

Мощность ульчунской свиты 2300-2500 м.

Иктиандинская свита (AR 1^o)

Свита застянута в виде узкой (2-5 км) полосы, вытянутой в субширотном направлении от верховьев Иктианды до левобережья Цагана. На пограничии ульчунской свиты иктиандинская залегает согласно. Граница между ними проходит по подошве мощной пачки меланократовых проксеноновых кристаллических сланцев.

Для иктиандинской свиты характерен пестрый набор пород при субширотном преобладании проксеноновых гнейсов. Она сложена проксеноновыми, антибласт-проксеноновыми, блотит-проксеноновыми, гранат-пироксеноевыми гнейсами и кристаллическими сланцами. Пограничное значение имеет прослон блотит-гранатовых, графитовых гнейсов и линзы мраморов.

Нижняя часть разреза синти изучена по коренным обнажениям в долине левого притока р. Намынгола. Здесь на гранат-биотитовых гнейсах южноуральской свиты согласно залегают (в м):

Графит- и гранатодержавие	450
Гнейсы пироксеновые	150
Кристаллические сланцы пироксеновые	150
Гнейсы кристаллические сланцы пироксено- вые, часто гранатодержавие	250
Кристаллические сланцы пироксеновые	100
Гнейсы биотит-пироксеновые	200
Всего - 1300 м	

Более высокая часть разреза свиты изучена по коренным выходам и с помощью канав в правом борту Джана, против устья Баранки, где залегают (в м):

Гнейсы пироксеновые, биотит-пироксеновые, пересланчивающиеся с пироксеновыми кристаллическими сланцами и мраморами	550
Гнейсы гранат-титанатовые	20
Гнейсы биотит-пироксеновые, часто гранатодержа- тельные с линзами мраморов и прослоями гранатовых гнейсов	180
Гнейсы пироксеновые с прослойками и линзами мраморов	100
Гнейсы биотит-пироксеновые, часто гранатодержа- тельные с линзами мраморов	50
Кристаллические сланцы гранат-пироксеновые	60
Мраморы с прослойками пироксеновых, биотит- пироксеновых гнейсов и кристаллических сланцев	210
Гнейсы пироксеновые, гранат-пироксеновые, нередко гранатодержавие, с прослойками мраморов	100
Пироксеновые кристаллические сланцы	220
Мраморы с прослойками гранитовых гнейсов и пироксеновых кристаллических сланцев	50
Гнейсы и кристаллические сланцы пироксено- вые, биотит-пироксеновые, часто гранатодержавие	50
Всего - 1540 м	

Мраморы и гранитовые гнейсы встречаются в различных частях разреза свиты, образуя линзы и невидимые прослои протяженнос-ть до 2-4 км.

Мощность южноуральской свиты оценивается в 2500-2700 м.

Среди архейских пород по изотропограffitiстому составу выделяются четыре основные группы: 1) существенно пироксеновые гнейсы и кристаллические сланцы - породы белые CaO; 2) гранатовые и био-
тиитовые гнейсы - породы багровые глиноzemом; 3) мраморы; 4) гран-
иты.

Наиболее распространены породы первого типа. Кристаллические сланцы внешне представляют собой темно-серые до черных среднеэзер-
истые породы массивные, полосчатой или нетектонометической текстуры.
Гнейсы отличаются более светлой окраской и наличием кварцево-илло-
тической текстуры. Наружную форму приобретают, петро-
литовая. Состав гнейсов в кристаллических сланцах, следующий: пироксен (в % 35-50 в кристал-
лических сланцах, 10-20% в гнейсах, кальцинован (люлоси-пелен-
дит), СИЗ = 420, 2V = +56°) - 0-50%, в гнейсах не более 20%,
ромбический пироксен (тистерит, 2V = -72-80°) - 0-35%. В биотит-,
гранат-, гранит- и албигранитодержавиях различия присутствуют храс-
ковато-коричневый биотит (1-5%), гранат (1-5, реже до 20%), гранит
(1%), коричневая ретековая обманка (5%, реже до 20-30%). Аксессорные
минералы представлены сфеном, апатитом, пироксено и рудным минералом.

Среди существенно гранатовых и биотитовых гнейсов и по коли-
чественному соотношению породообразующих минералов выделяются раз-
ности: гранат-пироксеновые, гранит-биотит-пироксеновые, био-
ти-пироксен-титанатовые, гранат-биотитовые, гранитовые. По вклю-
чению что светло-серые, коричневато-серые полосчатые породы исл-
ко- и среднезернистые структуры, содержание породобласти граната
до 2 см в диаметре. Наружная структура гнейсов гранобластовая, петро-
литовая, порфиробластовая; состоит она из пироксена (в % 30-35) -
30-55%, кварца 15-35% (в гранитовых различиях до 50%), титанита
3-20%, краснокоричневого биотита 4-13%, граната, относительно
к пироксенитам (содержание пироксена составляет 41-44%),
41-44%, 10-35%, гранит I-6%. Составно с гранобластом кварца от-
мечается люлоси-тистерит (СИЗ = 46°, 2V = +61°) до 15%, еще
реже встречается струйчатый антиперит до 30-40%. Аксессорные мине-
ралы - апатит, сфен, пироксен, ортоклаз, рутил, магнетит.

Мраморы - белые, реже серые, средне- и крупнозернистые породы
массивной текстуры; состоят из карбоната (70-90%), люлоси (1-5%),
форстерита (5-15%), хондрита (2%); встречаются единичные зерна
милонит, кварца, гематита, сфена. Структура пород гранобластовая,

Платигнейсы амбит-биотитовые с прослоями и линзами амфиболитов

Платигнейсы эпидот-биотитовые, эпидот-биотит-ротовообманковые, эпидот-биотит-ротовообманковые, эпидот-биотитовые, эпидот-биотит-амфиболиты	270
Платигнейсы эпидот-биотитовые, эпидот-биотит-амфиболиты	400
Слюдяные	250
Платигнейсы эпидот-биотитовые, гранат-эпидот-биотитовые, эпидот-двуслойные с прослойками эпидот-биотит-ротовообманковых платигнейсов и линзами амфиболитов	680
Платигнейсы эпидот-двуслойные	150
Платигнейсы с прослойками эпидот-двуслойных, эпидот-ротовообманковых платигнейсов и линзами амфиболитов	440
Всего - 2670 м	

Строение и состав снити выражены по простиранию, отличаются лишь некоторые вариации в количестве прослойки и линз амфиболитов. Мощность сиваканской снити в пределах листа определяется равной 3000 м. Учитывая, что ижнее приведенного разреза породы снити встречаются в виде ксенолитов в раннепротерозойских платигнейтах, мощность ее может быть значительно больше.

Куманская снита (PR₁ km)

Снита слагает северную (верховая Длинную и Немеркана) и центральную (между речью Немеркан – Мурин-ОНкон) части Майско-Ульского трапециевидного грабена. В качестве ксенолитов и остатков крова они установлены также в верховых р. Чопко и на левобережье р. Бырянды у северной рамки листа. На сиваканской сните куманская залегает согласно, граница между ними проводится по подошве мощной монотонной пачки трубогипсистых эпидот-двуслойных платигнейсов. Разрез куманской снити характеризуется выраженной мощностью по простиранию, большой мощностью слагающих ее однородных по составу и строению пачек гнейсов. Резко преобладают грубополосчатые эпидот-двуслойные, часто гранатодержащие платигнейсы, среди которых изредка встречаются прослойки биотитовых, ротово-обманковых платигнейсов и амфиболитов.

По береговым обнажениям и горным выработкам в долине р. Длинной составлен следующий разрез снити (в м):

Платигнейсы эпидот-двуслойные, гранат-эпидот-двуслойные	1000
Двуслойные грубополосчатые	16

Платигнейсы эпидот-двуслойные, гранат-эпидот-двуслойные с единичными прослойками ротовообманковых

Платигнейсы и линзамы амфиболитов	670
Платигнейсы эпидот-двуслойные, иногда гранатодержащие, тонкогратосчные	1280
Всего - 2950 м	

Лавлинская снита (PR₁ 1^{IV}).

В пределах района снита незначительно распространена. Высота ее установлена в междуречье Длинную – Тала-Бура (10 км²) и на левобережье р. Бырянды (4 км²). Она залегает согласно на Куманской сните, граница между ними проводится по подошве первой мощной пачки ротовообманковых платигнейсов. В строении снити принимают участие эпидотодержащие биотит-ротовообманковые, ротовообманковые, биотитовые платигнейсы и биотит-ротовообманковые кристаллические слани. Мощность лавлинской снити в пределах листа № 53-IX не превышает 1000 м.

По петрографическим признакам породы нижнего протерозоя объединяются в три группы: 1) эпидот-двуслойные, эпидот-биотитовые платигнейсы; 2) существенно ротовообманковые платигнейсы; 3) амфиболиты и ротовообманковые кристаллические слани.

Эпидот-двуслойные и эпидот-биотитовые платигнейсы наиболее распространены среди пород нижнего протерозоя. Внешне это мягко- и среднезернистые полосчатые породы светло-серого цвета. Структура их лентидогранобластовая, порфиробластовая, с элементами структуры плеядигнейсон. Состоит они из платигнейса (№ 17-37) – 30-70%, кварца 10-30%, биотита 5-20%, мусковита 0-10%, высокотемпературного мало-мелекристого эпидота (№-Нр = 0,013-0,020; 2γ = -30°) – 2-10%, в гранатодержащих разностях присутствует гранат (содержание пироповой составляющей 8-10%) – 2-3%. Аксессорные минералы – апатит, сфен, циркон, рутил, рутил.

Существенно ротовообманковые платигнейсы встречаются в разрезе сиваканской, лавлинской, реже Куманской снити в виде маломощных прослоев. Внешне это серые, темно-серые среднезернистые породы сложенные или полосчатой текстурой. Структура пород нематогранобластовая, лентидогранобластовая, порфиробластовая с элементами пойнтобластовой, текстура синклевальная. Главные минералы – платигнейс (№ 28-30) – 30-50%, кварц 10-20%, зеленая роговая обманка 15-40%, коричневый биотит 5-20%, эпидот 5-15%. Аксессорные минералы – сфен, апатит, прикон, рутил.

Амфиболиты и роговобимановые кристаллические сланцы распространены преимущественно в сильванской свите, в виде прослоев и линз они встречаются также в ламинской и Куманской свитах. Цвет пород темно-серый до черного, структура мелко- и среднезернистая, текстура сланцеватая. Минералогический состав: зеленая роговая оболочка 50–80%, блоки 0–15%, апタイト 2–20%, птицоклаз (# 25–34) 5–15%, кварц 0–10%, гранат 0–1%; аксессорные минералы – апатит, орф, циркон, рутил.

Судя по известковому составу нижнепротерозойских образований, предполагается, что они образовались в результате метаморфизма терригенных отложений. Исполнение составляет ламинская свита, кристаллические сланцы которой сформировались, вероятно, за счет основных вулканогенных пород. Амфиболиты, занимающие значительное место среди гнейсов сильванской и меньше Куманской свит, представляют, возможно, согласные интрузивные тела основных пород.

Парагенетические ассоциации олигокальция-андезина, коричневого биотита, мусcovита, зелено-роговой обманки, апタイトа, кварца, силикатов о метаморфизме пород в условиях амфиболитовой фации. По гранат-блютизовому термометру Л.Л.Перчука температура в момент метаморфизма составляла 560°C; низкие содержания спессартина в гранатах (2,4–3,4%) служат показателем высокого давления.

Породы Манско-Ульского грабена западнее площадки листа (бассейн р.Дуга), по данным Л.П.Карсакова [27], начально переходят в об разование липчанской серии станового комплекса. Вопрос о возрасте станового комплекса и его роли в геологической истории Шга-Сибирской платформы до последнего времени остается дискуссионным. Л.С.Коржинский [8] и С.П.Коржинский [9] высказали мнение о том, что в пределах Станового хребта развиты архейские породы, переработанные в результате воздействия раннепротерозойского материкового призвивания. Более широкое признание получило представление П.К.Дзевановского [5] и В.Н.Мошкова [14,15] о самостоятельной роли станового комплекса, соответствующего зоне нижнепротерозойского складчатого образования Алданского щита. Н.Г.Судовиков и А.Н.Недюз [18], основываясь на данных радиогеохимического возраста пород комплекса (1900–2200 млн. лет), относят его к верхнему архею.

В е р х н и й п р о т е р о з о л

Немерканская свита (PR₃н)

Свита картируется узкой (2–12 км) протяженной (около 56 км) полосой северо-восточного направления, простирающейся от западной

рамки листа (нижнее течение р.Кононихи) до правобережья Дана. В текстурных блоках или зонционных окнах среди зёрнузитов ламонской свиты она выходит на поверхность в бассейнах рек Кононихи, Нерикан, Орто и Чолко. Размеры отдельных блоков от 0,3 до 50 км². С более древними образованиями породы немерканская свита граничат по системе разрывных нарушений, которые контролируют зоны мало-литов и оластомилитов мощностью до 1 км. В строении свиты прими-мат участия диабазы, диабазовые порфириты, кварцевые албитогабрии, известняки, кремнистые и кремнисто-глинистые породы. Изредка среди этих пород встречаются песчаники и туфы. Интенсивная блоковая тек-тоника в пределах развития верхнепротерозойских образований не по-зволила получить их неперерывный разрез.

Частные разрезы свиты изучены в долине руч.Семенки (правый приток р.Немерикан) и в междуречье Кононихи-Латынлаг.

В долине руч.Семенки линия канав вскрыта (в м):

Кварцевые албитогабрии кремово-серые, винично-	
серые флюидальные с редкими прослоями туфов	70

Известники, в верхних горизонтах с оноколитами

Omagia tenellamollis Reitl., *Radiosus sphaericus* Z. Zhur., *Nubecularites uniformis* Z. Zhur. и др.

Диабазы • 70

Известники, содержащие оноколиты • • • • • • • • • • 50

Диабазы, диабазовые порфириты с редкими про-
слойками туфов • 300

Всего – 610 м

Более полный разрез свиты составлен по коренным обнажениям в междуречье Гатыннак-Кононих. Здесь надолгоится (в м):

Известняки мраморизованные • • • • • • • • • • 250

Диабазы • 200

Известники • 100

Диабазы • 175

Известники с единичными прослоями полимикто-
вых песчаников • 325

Диабазы • 175

Известники с малоизменными прослоями диабазов
и кремнистых пород • • • • • • • • • • • • • • • • 100

Всего 1325 м.

По характеру пересекания пород этот разрез не сопоставляет-
ся с разрезом руч.Семенки. Очевидно, это обусловлено изменчивостью
фациального состава свиты и ее мощности по направлению на юго-зап-
ад. Представляется, что разрез руч.Семенки является нижней частью
приведенного выше разреза, поскольку в основании первого залегают

кварцевые альбитоиды, которыми, по мнению автора записи, начинается разрез смыти. Для немецкой смыти характерна фациальная изменчивость. Наряду с участками, где переслаиваются залежи и карбонатные породы, встречаются блоки, сложенные только карбонатными (левобережье р. Мурин-ОНкон) или залежившими (верховья р. Орто, бассейн р. Чопко) породами. Общая мощность немецкой смыти в районе оценивается в 1700 м.

Фацииальность и полосчатость кварцевых альбитоидов, слабая директивная структура диабазов согласны со стойкостью в известняках, поглощенных ими в едином плане. Этот факт, а также наличие в диабазах миндалекаменности текстур позволяют предполагать их полукровный характер. Не исключено также, что часть диабазов и кварцевых альбитоидов представляют собой смесь.

Диабазы зеленые, темно-зеленые до черных породы массивной, миндалекаменной или трахитоидной текстуры. Структура диабазов одноточечная, пойкилопофитовая, реже трахилитолофитовая. Состав они из плагиоклаза ($\#$ 40–55) – 35–60%, калинитоксена и замещающих его хлорита, зеленовато-бурых или бесцветной роговой обманки, актинолита, карбоната, эпидота, суммарное количество которых составляет 40–60%, магнетита 2–10%. Аксессорный минерал – апатит. Диабазовые порфириты отличаются от диабазов наличием фенокристаллов плагиоклаза ($\#$ 56–65) от 4 до 25% размером 1–4 мм.

По химическому составу (табл. I) диабазы наиболее близки к оливиновым диабазам, по Дэли (обр. K-507) или кварцевым диабазам (обр. K-4840) и отличаются от них резко повышенным содержанием окисного железа. Диабазовый порфирит (обр. 1633) близок к гипертеневым андезитам, по Дэли, и отличается от типичных диабазов повышенным содержанием циркона и пониженным – залюстного железа.

Кварцевые альбитоиды – светло-серые, кремово-серые, винново-серые массивные, фацииальные, нередко полосчатые или сферолитовые породы иногда порфировой структуры. Они состоят из криптокристаллического агрегата альбита и кварца (размеры зерен 0,01–0,02 мм) с резким преобразованием альбита (до 90%). На фоне этого агрегата отмечается ориентированное микролиты альбита (реликтовая пилотакситовая структура). В сферолитовых разностях сферолиты сложены более мелкозернистым агрегатом того же состава, что и основная масса. Границы сферолитов подчеркиваются каймой полупрозрачного пентагиоморфного вещества. Порфиритные разности содержат от 5 до 10% фенокристаллов альбита или альбит-олигоклаза ($\#$ 8–10) размером 0,1–1,5 мм. В основной массе кварцевых альбитоидов постоянно присутствуют мелкие чешуйки гипросиды или слабо окрашенного хлорита. Кварцевые альбитоиды по химическому составу наиболее близки к кварцевым хематитам, определены А. Г. Постелевым (Западно-Сибирское ГУ). Всего им установлено 13 различных форм онколов и катаграфий. Большинство из этих форм (семь), по мнению А. Г. Постелева, характерны для верхнего рифа: *Radiolaria sphaericus* Z. Zhur., *Oscilla badius* Z. Zhur., *Nubecularia testiciformis* Z. Zhur. и др. Четыре формы встречаются в более моло-

дых трудах представляют собой кремово-серые, винново-серые породы псевдо-псаммитовой структуры, по составу обломков – литокластические или кристаллитокластические. Порфирокласты (60–80% объема породы) представлены неправильными, уплощателями обломками кварцевых альбитоидов, плагиоклаза, реже кварца. Свяжущая масса состоит из сернистикварцевого, карбонатизированного кварц-альбитового материала.

Известники – серые, темно-серые массивные, иногда полосчатые породы, различающиеся на обломочные и органические разности. Первая из них характеризуется плоскими сортиментовыми обломками (размеры 0,07–0,3 мм), сплющенным более мелкозернистым материалом (0,01–0,5 мм). В большинстве случаев они перекристаллизованы, имеют гранобластовую структуру, иногда содержат до 5–7% обломочного кварца. В зонах контактового воздействия мезозойских интрузий встречаются мраморизованные известники с трепелом (до 5%). Органогенные (онколитовые) известники сложены на 70–80% остатками онколов размером 0,5–1,2 мм, промежутки между которыми заполнены тонкозернистым (менее 0,01 мм) карбонатным материалом.

Кремнистые и кремнисто-глинистые породы имеют серый или темно-серый цвет и полосчатую текстуру. Под микроскопом устанавливаются, что они обладают криптокристаллической, брекчевой структурой. Кремнистые породы напело состоят из криптокристаллического кремнистого агрегата, содержащего малые частичные пылевидные включения рудного минерала. Кремнисто-глинистые разности, кроме того, содержат примесь пелитоморфного материала.

Песчаники – серые, желтовато-серые средне- или первично-зернистые породы массивной, реже неизвестнолосчатой текстуры. Редких видятся аркозовые и полимиктовые разности. Аркозовые песчаники состоят из уловленых зерен кварца (до 50%), микроклина (15–30%), плагиоклаза (20%), единичных зерен альбита и циркона. Цемент базального типа представлен бровчатым кремнисто-глинистым или карбонатным материалом. Полимиктовые песчаники состоят из кварца (25–50%), плагиоклаза (15–25%), обломков кремнисто-глинистых пород (5–15%), чешуек биотита, мусковита (до 8%), хлорита (до 10%), зерен лейкоксена (до 10%), сфена (до 5%), апатита, циркона, монацитита, рудного минерала. Цемент (5–20%) по типу базальный, по составу глинистый, глинисто-железистый, реже кремнисто-глинистый.

Органические остатки в известниках немецкой смыти определены А. Г. Постелевым (Западно-Сибирское ГУ). Всего им установлено 13 различных форм онколов и катаграфий. Большинство из этих форм (семь), по мнению А. Г. Постелева, характерны для верхнего рифа: *Radiolaria sphaericus* Z. Zhur., *Oscilla badius* Z. Zhur., *Nubecularia testiciformis* Z. Zhur. и др. Четыре формы встречаются в более моло-

Таблица I

Химический состав интрузивных и вулканогенных пород района^{x)}, вес. %

№ проб	Породы	Место взятия	Состав														
			SiO ₂	TiO ₂	Al ₂ O ₃	Fe ₂ O ₃	FeO	MnO	MgO	CaO	Na ₂ O	K ₂ O	P ₂ O ₅	SO ₃	CO ₂	H ₂ O	Сумма
I	2	3	4	5	6	7	8	9	10	II	I2	I3	I4	I5	I6	I7	I8
5160	Анортозит	р. Немерикан	57,04	0,28	25,68	I,33	0,49	0,01	0,42	8,06	5,78	I,14	0,10	0,00	0,00	0,18	100,51
5162	То же	То же	53,45	0,28	25,43	2,00	I,09	0,12	I,57	10,80	4,58	0,70	0,05	0,00	0,00	0,43	100,50
4031 ^a	Биотитовый гранит	" "	72,94	0,41	I3,77	I,04	I,02	0,03	0,38	I,14	3,21	5,72	0,09	0,00	0,31	0,44	100,50
I49	Двуслюдянный гранит	р. Дилинку	69,73	0,16	I6,73	0,44	0,66	0,03	0,88	2,09	6,36	I,68	0,06	0,00	0,27	0,28	99,37
22 151	Биотитовый гранит	То же	74,15	0,12	I4,41	0,39	0,66	0,03	0,48	I,75	5,27	2,22	0,06	0,00	0,03	0,11	99,68
152	Биотитовый плагиогранит	" "	64,77	0,52	I7,89	I,II	I,78	0,06	I,13	4,39	6,02	I,52	0,16	0,01	0,03	0,20	99,53
I52 ^a	То же	" "	72,88	0,19	I4,48	0,53	0,89	0,02	0,68	I,57	4,51	3,36	0,06	0,01	0,05	0,16	99,39
K-507	Лиабаз	р. Немерикан	44,00	4,05	I4,03	I3,16	3,23	0,10	6,89	6,65	2,01	I,08	2,21	0,00	2,28	I,82	99,51
K-487	Фельзит	То же	75,40	0,09	I5,24	0,86	0,24	0,01	0,32	0,26	4,77	2,84	0,03	0,00	0,00	0,47	100,53
3509	Кварцевый альбитофибр	р. Чопко	77,54	0,29	II,46	0,12	I,13	0,03	0,37	0,71	I,89	5,70	0,04	0,02	0,21	0,47	99,98
394 ^a	То же	То же	75,78	0,24	I3,36	0,14	I,68	0,03	0,35	0,57	3,30	3,45	0,04	0,00	0,22	0,85	100,00
K-384	Лиабаз	р. Немерикан	52,19	2,54	II,79	I3,99	I,31	0,11	3,87	6,42	4,96	0,40	0,22	0,00	2,04	0,66	100,58
I633	Лиабазовый порфирит	р. Эльга	53,33	0,97	20,92	2,87	4,63	0,15	2,38	9,88	3,13	0,31	0,20	0,45	0,07	0,05	99,34

^{x)} Химические анализы выполнены в химической лаборатории ДВТГУ; зав. лабораторией - МАШИН С.Я.

Продолжен. табл. I

I	2	3	4	5	6	7	8	9	10	II	I2	I3	I4	I5	I6	I7	I8
5248	Биотитовый гранит	р. Мурин-Онкон	66,53	I,01	I4,89	2,22	3,18	0,07	I,09	2,57	3,63	4,36	0,32	0,00	0,03	0,68	100,58
4440	Дашит	р. Верх. Каяма	50,52	2,04	I6,89	4,41	6,35	0,12	5,17	I0,13	3,61	0,46	0,30	0,00	0,00	0,52	100,52
K-562	Андерзитовый порфирит	р. Немерикан	48,90	I,73	I6,20	4,59	6,43	0,13	7,47	II,04	2,24	0,78	0,21	0,00	0,01	0,35	100,08
I090	То же	р. Эльга	56,32	I,06	I9,03	3,86	3,88	0,18	2,04	7,64	3,67	0,33	0,20	0,01	0,09	I,23	99,54
I203	" "	р. Тала-Бура	56,82	0,92	I7,86	4,91	2,26	0,13	2,92	5,93	4,41	2,09	0,36	0,00	0,03	0,74	99,38
32 4415	Габбро-диабаз	р. Ниж. Каяма	49,80	I,72	I9,29	3,79	4,52	0,11	4,81	9,06	4,00	0,82	0,23	0,00	0,00	2,35	100,50
4987	Диоритовый порфирит	То же	54,60	2,50	I5,78	4,II	6,74	0,15	3,04	5,43	3,82	2,24	0,61	0,00	0,00	I,47	100,49
III3	То же	р. Мая	57,23	0,91	I7,87	I,28	5,41	0,14	2,89	6,01	3,81	0,95	0,18	0,00	0,53	2,32	99,53
III9	Габбро-диабаз	То же	50,32	I,06	I8,26	I,16	7,64	0,19	5,12	8,70	3,42	0,57	0,18	0,00	0,29	2,48	99,73
672	Гранодиорит	р. Намульга	68,24	0,36	I5,I4	I,59	I,59	0,06	I,84	3,31	3,69	3,23	0,09	0,00	0,03	0,48	99,65
I602	Кварцевый диорит	р. Мая	65,79	I,18	I3,94	2,34	3,59	0,12	I,19	2,44	3,01	4,46	0,36	0,00	0,03	0,11	99,68
52I	Биотитовый гранит	То же	70,75	0,40	I4,19	I,20	I,78	0,07	I,17	2,54	3,84	3,05	0,09	0,01	0,14	0,39	99,62

Продолжен.табл. I

Числовые характеристики по А.Н.Заварыцкому

# проб	a	c	s	b	n	a'	c'	f'	m'	n	q
5160	I5,6	I5,6	I0,7	I0,7	I0,7	I4,4	I0,0	I4,4	I2,0	I5,9	-0,4
5162 ^a	I2,2	I2,2	I0,7	I0,7	I0,7	I0,8	I0,0	I0,8	I0,7	I8,5	-0,7
4031 ^a	I4,6	I4,6	I0,7	I0,7	I0,7	I0,0	I0,0	I0,0	I0,0	I2,3	-0,2
149	I6,9	I6,9	I0,7	I0,7	I0,7	I1,0	I0,0	I1,0	I0,7	I3,5	-0,5
I51	I5,2	I5,2	I0,7	I0,7	I0,7	I1,0	I0,0	I1,0	I0,7	I2,5	-0,5
I52 ^a	I5,07	I5,07	I0,7	I0,7	I0,7	I1,0	I0,0	I1,0	I0,7	I2,5	-0,5
K-487 ^a	I3,509	I3,509	I0,7	I0,7	I0,7	I1,0	I0,0	I1,0	I0,7	I2,5	-0,5
I494 ^a	I6,33	I6,33	I0,7	I0,7	I0,7	I1,0	I0,0	I1,0	I0,7	I2,5	-0,5
I633	5248	4440	I0,0								
K-562	I0,0	I0,0	I0,0	I0,0	I0,0	I0,0	I0,0	I0,0	I0,0	I0,0	I0,0
I090	I0,0	I0,0	I0,0	I0,0	I0,0	I0,0	I0,0	I0,0	I0,0	I0,0	I0,0
I203	I0,0	I0,0	I0,0	I0,0	I0,0	I0,0	I0,0	I0,0	I0,0	I0,0	I0,0
I4415	I0,0	I0,0	I0,0	I0,0	I0,0	I0,0	I0,0	I0,0	I0,0	I0,0	I0,0
4987	I0,0	I0,0	I0,0	I0,0	I0,0	I0,0	I0,0	I0,0	I0,0	I0,0	I0,0
III13	I0,0	I0,0	I0,0	I0,0	I0,0	I0,0	I0,0	I0,0	I0,0	I0,0	I0,0
III19	I0,0	I0,0	I0,0	I0,0	I0,0	I0,0	I0,0	I0,0	I0,0	I0,0	I0,0
I602	I0,0	I0,0	I0,0	I0,0	I0,0	I0,0	I0,0	I0,0	I0,0	I0,0	I0,0
521	I0,0	I0,0	I0,0	I0,0	I0,0	I0,0	I0,0	I0,0	I0,0	I0,0	I0,0

х) Химические анализы выполнены в химической лаборатории ДВТУ; зав.лабораторией - Матыцын С.Я.

для образований (Южно-Венеский комплекс): *Oseagia bothridio-formis* Krasn., *Volvatelella zonalis* Nar. и др. Две формы, встречающиеся в среднем рифе (*Oseagia cf. undosa* Reitl., *Oseagia tenuilamea* Reitl.), являются, видимо, реликтовыми. Поскольку большинство форм онкоклитов и катаграфий характерны для верхнего рифа и, частично, Южно-Венесского комплекса, можно предполагать, что возраст слоев, содержащих эти формы верхнепротерозойский. Абсолютный возраст диабазов, определенный калий-argonовым методом по валовой пробе, составляет 143 млн. лет, кварцевых альбититов - 225±13 и 166±2,5 млн. лет (табл. 2). Эти цифры, видимо, отражают мезозойский этап тектоно-магматической активизации района.

Верхний отдел русской и нижний отдел меловой систем

Мезозойские вулканогенно-осадочные образования занимают около 35% территории, слагая его юго-восточную часть. Как и на сопредельных территориях [31, 34, 36], они относятся к Джелонской свите, которая подразделена на две подсвиты: нижнюю - турфогенно-осадочную и верхнюю - существенно лавовую.

Джелонская свита

Нижняя подсвита (J-Kd1) распространена в меднуречье Мая-Джана и на левобережье Джана (около 830 км²). Почти повсюду контакты ее с подстилающими породами тектонические, лишь в верховых руч. Семенка и в бассейне Чепко покрыты с разным запасом на верхнепротерозойских образованиях. В гальке контломератов и в обломочной части трубок наблюдаются кремнистые породы и малалекаменные диабазы, характерные для немериканской свиты. Сложена пирокластами туфами андезитовых порфиритов, дацитовых порфиров, в меньшей мере ксенотурами, итимбритами, туфоконгломератами, туфопесчаниками, гравелитами, конгломератами, песчаниками, алевролитами, утилистами, аргиллитами, андезитовыми порфиритами. Для подсвиты характерна цинцальная изменчивость, выражаясь в неравномерном распределении в ее составе терригенных и пирокластических пород. Пирокласты резко преобладают по площади распространения; терригенные породы развиты в меднуречье Эльтга-Макит - Крестан, Верх.Казма - Тутганды и в низовых Немерикана. Итимбриты встречены в бассейне р. Верх.Джанда, где они переслаиваются с туфами среднего и умеренно кислого состава.

Изучено три разреза подсвиты: в долине Немерикана, на левобережье Мая, у юной ракки листа и в нижнем течении р.Джанда.

Наиболее полный разрез подсвиты составлен по береговым обнажениям р. Немерикан и линии горных выработок между устьями рек Эльга-Макит и Крестая. Здесь наблюдаются (в м):

Анделитовые порфириты, переслаивающиеся с полимиктовыми песчаниками. Мощность прослоев 5-10 м	100
Песчаники полимиктовые с прослоями (0,3-0,5 м) туфопесчаников и конгломератов	65
Песчаники мелкозернистые с прослоями (0,5-5 м) туфопесчаников и туфоконгломератов	50
Анделитовые порфириты, дацитовые порфиры	55
Песчаники полимиктовые с прослоями (3-5 м) гранулитов	250
Анделитовые порфириты, дацитовые порфиры, кластолавы анделитовых порфиритов	80
Анделитовые порфириты	145
Кластолавы анделитов с прослоями (0,1-0,7 м) ксеногранитов и туфопесчаников	20
Анделитовые порфириты с прослоями (до 50 м) ксеногранитов	90
Анделитовые порфириты с прослоями (0,5-3 м) их туфов, туфопесчаников, песчаников, содержащих остатки <i>Raphaealia cf. diamensis</i> Sow, <i>Neocalamites hoorensis</i> (Schimp.) Hall., <i>Cycadocarpidium</i> sp. и др.	240
Всего -	1360 м.

В строении приделенного разреза приблизительно в равном соотношении участвуют терригенные иловые образования при резко повышенном значении микрокластических пород. Не исключено, что часть анделитовых порфиритов слагает сильловые залежи, однако надежных критериев для отличия их от покровных разностей не получено.

В разрезе, составленном на левобережье р. Мая, доминирующая роль принадлежит микрокластическим образованиям среднего и умеренного кислотного состава, среди которых в разно подчиненных количествах отмечаются алевролиты и артиллиты с многочисленными отпечатками стеблей растений, не поддающихся определению. Мощность подсвиты здесь 202 м.

В разрезе, изученном в нижнем течении р. Верх. Диктанды и имеющим мощность 775 м, отмечены сваренные туфы и итабориты, находящиеся в переслаивании с туфами и алевролитами.

Мощность нижнеделонской подсвиты в различных частях района колеблется от 300 до 1360 м.

В е р х н яя п о л с в и та (J.-X₁, dl₂) обраузет южные склонные покровы площадью от 1 до 120 км², наиболее крупные из которых установлены на правобережье Мая, в местечке Мая-Немерикан, в верховьях Туткалия. Максимальное I-образное зачаткирование в бассейне Чата-Бура и на правобережье Биранды. Основанием для покровов служат тургенно-осадочные образования нижнеделонской порфириты, реже архейские суперкустальные образования (правобережье Биранды, бассейн Тала-Бура), породы верхнего прогорозоя (левобережье р. Кондакий, правобережье р. Катинак) и позднегалесовитые (?) граниты (местечко Немерикан - Мурин-Оникон).

Граница между нижне- и верхнеделонской подсвитами проходит по пологому первой мощной пачки анделитовых кластолавов или анделитовых порфиритов, содержащих резко пологие прослои микрокластических образований. Верхнеделонская подсвита сложена анделитовыми и порфиритовыми порфиритами, реже их кластолавами и туфами. Колебание в нем микрокластических пород в различных частях района сильно колеблется и в целом от низов к верхам разреза усиливается. Анделитовые кластолавы преобладают над дацитами. Разрез подсвиты изучался на трех участках. В долине Немерикана канавы вскрыли анделитовые порфириты мощностью 700 м, содержащие редкие прослои туфов. Две другие разрезы изучены по почти непрерывным коренным выходам пород подсвity в западном отроге хр. Саладак по двум сортам канюна. Разрез хорошо споставляется, несмотря на изменчивость мощностей отдельных потоков (участки разреза удалены друг от друга на 0,5-1 км). Особенный разрез представляется следующим (в м):

Анделитовые порфириты темно-серые

Кластолавы анделитовых порфиритов темно-

серые

Анделитовые порфириты темно-серые

Кластолавы анделитовых порфиритов вишнево-

серые

Туфы дацитовых порфиритов спекшиеся

Кластолавы анделитовых порфиритов вишнево-

серые

Всего 510 м. Мощность верхнеделонской подсвиты в пределах пло-

щади листа не менее 1000 м. Анделитовые порфириты - темно-серые с зеленоватым или вишневым оттенком массивные или блокадальные породы порфировой, реже архейской структуры. Микроструктура основной массы пилотакситовая, гипомиктовая, микролитовая, реже глинистая. Фенокристали прелестав-

ленн плагиоказом (№ 30-70) от 3 до 60%, пироксеном (авигит или гиперстен) от 1 до 15%, роговой обманкой 1-5%. Основная масса состоит из микролитов плагиоказа (№ 25-45) - 50-70%, зерен пироксена 5-20% и вулканического стекла 10-50%; акцессорные минералы - магнетит, апатит. По химическому составу породы близки к группе андезитов-базальтов, по Дэлти (обр. 1090, 1203, К-562, 4440).

Дацитовые породы - серые или светло-серые с зеленым, вишневым, сиреневым оттенком породы порфировой, реже архитровой структуры. Текстура их массивная или флюидальная. Фенокристаллы представлены плагиоказом (№ 24-37) - 5-30%, кварцем 1-5%, пироксеном 1-3%. Основная масса зирофировой, гиалопилитовой, гиалиновой, фельзитовой структуры состоит из плагиоказа (до 30%), кварца (до 30%), калишлага (до 10%), пироксена (до 5%), рудного минерала (до 3%). Породы, как правило, промылированы.

Туры андезитовых порфиритов представляют собой серые желтаватые или зеленоватые оттенков породы массивной или брешиальной текстуры. Под микроскопом они характеризуются кристалломитооктахастической, кристаллолистооктахастической пояситопаммитовой, псаммитовой структурами с пепловатой структурой связующей массы. Обломки представлены андезитовыми порфиритами (10-40%), дацитовыми порфиритами (3-10%), вулканическим стеклом (15-20%), туфами (5-25%), плагиоказом (5-10%), кварцем (1-5%), пироксеном и амфиболом (до 2%). Цемент (5-40% объема породы) пепловый с примесью алевритового материала, реже глинисто-хлоритовый. Породы хлоритизированы, эпиломозированы, сердоличизированы.

Туры дацитовых порфиритов - светло-серые массивные, реже полосчатые породы кристаллолистооктахастической, кристалломитооктахастической структуры. Составляет они из обломков вулканического стекла (5-50%), дацитовых порфиритов (3-15%), гиалопилитовых (1-2%), плагиоказа (1-30%), кварца (1-2%). Цемент (10-30%) гиалопилитового, иного преобразован в криптокристаллический кварц-полевошпатовый агрегат. Породы обычно слабо промылированы.

Иногда туры характеризуются псевдообсидиановой массой и сваренной туфой. Обломки в них представлены андезитовыми порфиритами (30-60%), дацитовыми порфиритами (0-10%), фельзитами (единичные обломки), кварцем (20-40%), плагиоказом (20-40%), фельзитом (3-15%). Цемент перекристаллизован в кварц-полевошпат-хлоритовый, железисто-хлоритовый агрегат, с сохранением реликтовой пепловатой структуры.

Гипофестинники - мелко-, средне- и крупнозернистые темно-серые, буровато-серые породы. Геррититовый материал (20-60%) сидерулитовой окружной формы представлен кварцем (10-30%), плагиоказом (5-40%)

кремнистыми и кремнисто-глинистыми породами (5-15%), кварц-серии-тонами сланцами (единичные обломки), магнетитом (до 10%), единичными зернами граната, пироксена, сфена, лейкоксена, анатита, циркона, четулками хоритизированного биотита. Пирокластический материал (25-40%) представлен остроугольными обломками андезитовых порфиритов (до 1%), дацитовых порфиритов (до 10%) и кристаллами плагиоказа. Цемент (5-20%) по типу соприкосновения, базальный, порокий, по составу глинисто-алевритовый, глинисто- железистый, глинисто-хлоритовый.

Конгломераты содержат до 50-70% хорошо окатанной гальки размером 1,5-4 см по длиной оси. Состав гальки характеризуется неизменностью. Встречаются разности, содержащие гальку только эухантических пород, чаще же в составе гальки преобладают породы (бульжаки).

Лесчаниты - серые, светло-серые, желтозато-серые массивные или стоящие породы, субдисперсионные. Состав они из окатанных в разной степени обломков фельзитов (8-35%), гиалитов порфиритов (3-15%), андезитовых порфиритов (до 25%), шебабазов (до 10%), кремнистых и кремнисто-глинистых пород (5-20%), кварца (5-45%), плагиоказа (5-35%), магнезитина (до 5%), амфиболя (до 3%), ежиничек гиалитов (5-35%), магнезитина (до 5%), амфиболя (до 3%), ежиничек зерен циркона, апатита, граната, турмалина, ортита. Цемент (8-40% объема породы) по типу соприкосновения, базальный, порокий, часто коррозионный, по составу кремнистый, глинисто-кремнистый, глинисто-хлоритовый.

В зонах контактового воздействия гранитоидов узкого и широкого комплексов лавы перекристаллизации и сидерулитизации, нередко превращены в пироксен-плагиоказовые, биоксит-плагиоказовые, иногда частично или полностью перекристаллизованы в гранобластониты, также гранатодержащие массивные и полосатые роговики. Туры агрегат кварца, полевого шапата и биотита. По пементирующей массе песчаник, гипофестинник и алевролитов развивается мелкочешуйчатый агрегат блогита и хлорита.

Возраст Желонской свиты определен по находкам Л. И. Красицким на побережье Устькой губы [17] и Ю. И. Шербиной в районе пос. Устькое [36], состоящей из лав, характерной для верхней юры и нижнего мела (неокома). В базисе р. Ула-Желонская свита перекрывает боконской свитой, содержащей фтору неокома [33]. Повторные сборы фрагментов на побережье

Таблица 2

Абсолютный возраст пород (определения Т.К.Ковальчук, ДВГГУ, К-Аг метод)

Номер пробы на карте	Породы, вид пробы	Место взятия пробы	Абсолютный возраст породы, млн. лет	Количество K, %	Количество Аг в 10^{-9} , г/г	Отношение Аг ⁴⁰ к K ⁴⁰
I	2	3	4	5	6	7
30	I49 Гранит мусковитовый, валовая пробы	Левобережье р.Дялинку	I42	1,09	II,25	0,00815
	I52 Гранит биотитовый, валовая пробы	То же	I23,5	1,55	I3,2	0,007
	I51 Гранит двуслюдянной, валовая пробы	" "	I40	1,69	I6,6	0,00807
	I52 ^a То же	" "	II8	2,88	24,7	0,00673
	4087 Кварцевый альбитофибр, валовая пробы	Правобережье р.Немерикан	238 212} 225±13	1,60	27,5 24,0	0,0141 0,0123
	4094 Диабаз, валовая пробы	То же	I43	0,51	5,1	0,0083
	3498 Кварцевый альбитофибр, валовая пробы	р.Чопко	II4 II9} II6±2,5	2,65	21,0 21,0	0,0065 0,000656
	I662 Гранит, валовая пробы	Верховья р.Катынка	I65	3,01	25,3	0,0095
	4673 Гранит метасоматический, валовая пробы	Правобережье р.Мурин-Оникон	I48	3,56	37,8	0,0087
	4431 Дацитовый порфир, валовая пробы	Правобережье р.Верх.Калма	I48	0,95	I0,1	0,0087

Продолжен. табл.2

I	2	3	4	5	6	7
31	5320 Андезитовый порфирит, валовая пробы	Верховья р.Тутканда	II2	0,76	5,84	0,0063
	404 Диорит, валовая пробы	Верховья р.Эльга	240 268} 254±14	0,85	I4,5 I6,3	0,0014 0,00158
	450 ^a То же	Левобережье р.Катыннакан	246 258} 249,5±3,5	0,64	II,3 II,6	0,0145 0,0149
	K-538 ^b Кварцевый диорит, валовая пробы	Правобережье р.Немерикан	I55	0,70	7,65	0,009
	5086 Габбро-диабаз, валовая пробы	Левобережье р.Немерикан	I62 I76} I69±7	0,65	7,3 8,6	0,00925 0,0103
	4435 Диорит, валовая пробы	Правобережье р.Верх.Калма	I59	0,65	9,1	0,0092
	I763 Кварцевый диорит, валовая пробы	Правобережье р.Мая	I52 I59} I57±5	I,40	I4,7 I5,5 I5,9	0,00865 0,00914 0,00935
	521 Гранит-биотит-рогообманковый, валовая пробы	Левобережье р.Мая	I07	2,56	I8,8	0,00608
	805 ^a Гранит-порфир, валовая пробы	Левобережье р.Тала-Бура	I05 I09} I07,5±2,5	2,98	21,8 22,7	0,006 0,00622
	3288 Диорит биотит-рогообманковый, валовая пробы	р.Иктанда	I05 I10} I07,5±2,5	2,55	I8,8 I9,45	0,006 0,00624

Удской губы позволили Е.Л.Лебедеву сделать вывод о поздненеирском возрасте джелонской свиты [1].

Присутствие среди остатков фибр, собранных в песчаниках джелонской свиты бассейна р.Немерикан, рукавами форм *Varviaelia cf diamensis* Sew. и *Neocalamites* sp. свидетельствует, по мнению М.М.Комаровской в той же почке, была определена И.Н. Сребродолской. По ее мнению, остатки *Neocalamites hoegensis* (Scrim) Найле и рода *Susdoscarpidium* sp. позволяют определить возраст содержащих их пород как позднетриасовый-ранненеирский. Радиогоритический возраст андезитового порфира (обр. 5320) оказался равным 172 млн. лет, палиотого порфира (обр. 4431) - 148 млн. лет (табл.2). Поскольку вопрос о возрасте джелонской свиты остается дискуссионным, она находит, как и большинством исследователей, отнесена к верхней пре-нижней межу.

ЧЕТВЕРТИЧНАЯ СИСТЕМА

Нижнечетвертичные (?) аллювиальные отложения (Q₁?) слагают высокие (30-50 м) террасы рек Немерикан, Тутканда, Тутканчан. Высота уступа террасы 3-5-4 м, иногда (низы р.Тутканда) достигает 20-25 м. Отложения террасы в долине Немерикана представлены полимиктовыми песками с редкой галькой. Нижнечетвертичный возраст террас принят условно на основании сопоставления с подобными образованиями смежной с юга территории [36].

Среднечетвертичные аллювиальные отложения (Q₁) слагают II надпойменную террасу высотой 15-30 м. Ширина террасы составляет первые десятки и сотни метров, протяженность до 1-5 км. Нижняя часть разреза II террасы Немерикана изучена в шуррах вблизи устья р.Верх.Кама. Здесь вскрыты полимиктовые пески с редкой (до 5%) галькой и гравием (2,4 м), полимиктовые пески с гравием и галькой до 15-20% (0,6 м), гравийно-галечные отложения с гравием и галькой до 0,8 м), песчано-галечные отложения отложений, содержащие 50-50% гальки и гравий (0,5 м). Алевигитный состав аллювия II надпойменной террасы установлен в долине р.Джана.

Х) Не исключена возможность, что вулканический джелонской свиты в различных частях Удской вулканической зоны имеет различный возраст. более древний в западной ее части и более молодой в восточной, вследствие миграции вулканизма во времени в сторону Охотского моря (П.И.М.Ред.).

Среднечетвертичный возраст 15-30-метровых террас определен по сохранившимся в их отложениях спорово-пыльцевому комплексу, отвечающему растительности хвойно-берескового леса с участием ольхи и отливающемся от верхнечетвертичного комплекса.

Верхнечетвертичные отложения (Q₁) состоят из валунов с притоками. Разрез террасы р.Мая, состоящий из шурм в борту уступа р.Эльги, представлен суплинком (0,1 м), галечником с редкими (5-10%) валунами, крупновернистым песком и гравием (2,7 м), валунами с примесью гальки и гравия (1,5 м), валуно-галечниковым горизонтом (1,1 м), валунами с гравием и галькой (2,2 м). В отложениях I надпойменной террасы рек Биранды, Деницы, Джана установлен спорово-пыльцевой комплекс, характеризующий растительность умеренно-теплого климата. Наличие пыльцы *Corylus*, *Ulmus*, *Betula Schidigera* позволяет отнести эти образования к периоду потепления позднего плейстоцена.

Верхняя часть (Q₂) имеет ледниковое происхождение. Эти отложения слагают морены, выполняющие днища широких долин, расположенные на абсолютных отметках от 500 до 1200 м. Протяженность морен достигает 3,5 км. Сложенны они крупными (до 3-4 м) полукоганными глыбами и валунами с небольшой (10-15%) примесью песня, крупновернистого песка и супеси. Водно-ледниковые отложения в виде увалов и террас высотой до 5-15 м встречены у подножий западных склонов хр.Салманак. Они представлены плохо сортированным галечно-валунным материалом (60-70%) с гравийно-гравиевым и песчаным заполнителем. Преобладают валуны размером 20-70 см. Установлено, что водно-ледниковые образования налегают на аллювиальные отложения I надпойменной террасы р.Джана и перекрываются современным аллювием. Это позволяет считать возраст ледниковых и водно-ледниковых образований позднечетвертичным.

Современные аллювиальные отложения (Q_{1y}) слагают высокую почву, ширина которой колеблется от первых десятков метров до 1-2 км. Высота почвы в долинах рек Мая, Джана, Немерикан 2-4 м, по их притокам 0,5-2 м. Верхняя часть почвы сложена песком с редкой галькой и гравием (0,5 м), нижняя - валуно-галечником отложениями (3,3 м).

Верхняя часть (Q_{1y}) представлена аллювием русел и низких полей. Ширина их в долинах рек Мая и Джана достигает 200-1500 м. Характер отложений при определен развитием гидросети: в верховых они представлены тяжко окатанными валунами и галькой с небольшой примесью грубозернистого песка, ниже по течению степень

окатанности материала и доли песчаной фракции возрастают. Мощность современных отложений в долине р.Джана равна 30–32 м., по рекам Артык и Иктача около 6 м [26].

Противимальные отложения слагают конусы выноса высотой 5–10 м в пристебевых частях малых водотоков. Водоизделия и их склоны покрыты аллювиальным и делювиальным чехлом, мощность которого 0,5–3 м. У подножий склонов мощность коллювия достигает 6 м.

И Н Т Р У З И В Н Ы Е О Б Р А З О В А Н И Я

Интрузии, занимающие около 35% территории, по возрасту распределены на архейские, раннепротерозойские, позднепротерозойские, позднепалеозойские (?), позднераковинные, раннемеловые, раннекембрийские, немеловые и меловые.

АРХЕЙСКИЕ ИНТРУЗИИ

По послеконтактности формирования среди архейских интрузий выделяются: 1) габбро, габбро-анортозиты, анортозиты, 2) биотитовые граниты, 3) лейкократовые граниты.

Г а б б р о , г а б б р о - а н а р т о з и т и (γ AR).

Г а б б р о з и т и (γ AR) слагают в северной части птицами ряд мелких (0,5–12 км²) тел, согласных с простиранием структур архейских стратифицированных образований. Вмещающими породами для них служат гнейсы и кристаллические сланцы курлакской свиты. Характер контактов габброродов с вмещающими породами изучался с помощью горных выработок в пристебевой части р.Артык и на правом берегу р.Джана, ниже устья р.Артык. В том и другом случаях габбро в приконтактовой части приобретает полосчатую текстуру, прием полосчатость согласна с плоскостью контакта и кристаллизационной сланцеватостью вышедших гнейсов. Чаще на контакте те и другие породы рассланцовываются, иногда зона рассланцевания достигает ширини 0,8–1 км. Внутреннее строение интрузивов довольно сложное. В центральных частях наиболее крупных из них наблюдаются анортозиты, которые к периферии постепенно, через габбро-анортозиты, переходят в габбро. В некоторых массивах крупнозернистые габбро и габбро-анортозиты смениются в эндоконтактах средне- и мелкозернистыми полосчатыми габбро. Как и имеющиеся породы, габбророды комплекса магматизированы архейскими лейкократовыми гранитами. В бассейне р.Верх.Камы анортозиты выведены на поверхность в тектонитовом блоке (30 км²) из-под булганитов джалонской свиты. Здесь анортозиты прорваны блокитовыми гранитами. Контакт нечеткий, расщеличатый, переход между породами постепенный [25].

Анортозиты – светло-серые, фиолетово-серые от мелко- до крупнозернистых, иногда порфиробластические породы массивной, реже неизоголовчатой текстуры. Структура их пандигоморфозернистая, участками бластокатахастическая и коррозионная. Состав: они на 95–100% из платиоклаза (# 35–45), часто замещенного сосситом, серпентитом и карбонатом, проявлены ряда диопсид-геленбергита ($\text{Na-Na}_2\text{O}$, 0,024, $2v = 70^\circ$) – 3–4%, реже гиперстена. Аксессорные минералы – апатит, магнетит. По химическому составу анортозиты южного массива аналогичны анортозитам главных массивов зоны Становика-Джулькура [13]. От типичного анортозита, по Дали, они отличаются повышенным содержанием щелочных аллюминиатов (табл. I).

Габбро и габбро-анортозиты внешне представляют собой темно-серые, зеленовато-серые, темно-зеленые средне-, крупно- или гигантозернистые, часто порфиробластические породы сланцеватой, полосчатой, реже массивной текстуры. Для габбро-анортозитов характерна птицистая текстура, обусловленная неравномерным распределением темнозернистых минералов. Структура пород габброродов, аллотаборовая с элементами коррозионной, катаклтической и бластокатахастической. Габбро сложены платиоклазом (# 38–54) – 35–50%, вторичным амфиболом, замещающим пироксен, – 35–40% и хлоритом – 0–10%. Аксессории представлены апатитом, рутилом, лейкоксеном, рудным минералом. Габбро-анортозиты в отличие от габбро содержат меньшее количество (20–35%) темноватых минералов.

Мильный комплекс габброродов представлен периодитами и пироксенитами (δ AR), слагающими согласные межлястовые тела мощностью 2–200 м среди архейских гнейсов и кристаллических сланцев. Контакты их с вмещающими породами разные: прямомилнейные. Внешнеульграбразиты представляют собой массивные равноклерновзернистые породы черного с зеленым оттенком цвета. Периодиты имеют пандигоморфозернистую структуру и следующий состав: оливин 20–25%, ромбический пироксен – бронзит ($\text{Mg-Nr} = 0,010$, $2v = 90^\circ$) – 0–30%, апатит 40–60%, биотит 1–5%. Аксессории – шинель, рудный минерал. Структура пироксена – пандигоморфозернистая, гипидигоморфозернистая; плавные мильтерали – авигит 40–100%, бураги роговая обманка 0–60%. Как правило, ультрабазиты магматизированы, превращены в анхиломинеральные amphibolовые породы. Структура таких пород: фибробластовая, лепидогранобластовая. Минеральный состав: амфиболит 50–60%, хлорит 10–40%, птицит 0–25%, урадит 0–60%. В качестве примеси присутствуют карбонаты и рудные минералы.

Габбро-анортозитовые образования слагают согласные и субсогласные тела среди архейских гнейсов и кристаллических сланцев и са-ми прорываются архейскими гранитами. По этим данным возраст по-род комплекса принадлежит архейским.

Граниты биотитов (γ_{AR}) закартированы в среднем тектонии Немерикана, где они выходят в тектонических блоках совместно с анортозитами. Размеры выходов 0,7 и 7,5 км². Вмещающими для гранитов служат архейские анортозиты, с которыми они имеют постепенные переходы через зону гранитизированных пород шириной 50–60 см. Внешне граниты – розовые, грязно-розовые массивные про-дны с голубоватым кварцем. Структура их гипербластовая, граноблас-товая, участками катаклазическая и олистогранитовая. Состав пород: микроклин-пертит 55–60%, кварц 35–40%, плагиоклаз (№ 15–20) 1–5%, биотит 0–2%; акцессории представлены монацитом, апатитом, рудным минералом. Кимберлитический состав гранитов приведен в табл. I (проба № 46318).

Биотитовые граниты прорывают и гранитизируют архейские анортозиты, участками катаклазическая и олистогранитовая. Состав пород:

микроклин-пертит 55–60%, кварц 35–40%, плагиоклаз (№ 15–20) 1–5%, биотит 0–2%; акцессории представлены монацитом, апатитом, рудным минералом. Кимберлитический состав гранитов приведен в табл. I (проба № 46318).

Биотитовые граниты прорывают и гранитизируют архейские анортозиты и не встречаются среди более молодых образований. По особенностям химизма и минералогическому составу они обнаруживают схожест-во с биотитовыми гранитами центральной части Марийского Massива, прорванными лейкократовыми гранитами возраст которых счищается архейским [24].

Граниты лейко-кристаллические (γ_{AR}) образуют инъекционный материал пегматоложечных митмаштитов и слагают многочисленные пластовые тела (0,5–50 м) среди пород архея. Реже они об-разуют более крупные (до 3–4 км²) тела, вытянутые согласно с про-стиранием имеющихся пород. Такие тела закартированы на левобережье Намульта и в изловьях Дялину. Состоит они из сближенных пластовых тел гранитов различной мощности, разделенных гранитизированным субстратом. Отдельные жилы содержат многочисленные религии имеющихся пород и их минералов. Контакты жил как четкие, так и расплывчатые, извилистые с постепенными переходами гранитов через гранитизирован-ные породы с теневыми структурами во вмещающие их гнейсы и кристал-лические сланцы.

Граниты – белые, розовато-белые средне- и крупнозернистые по-роды гранулитовой, реже мессенской текстуры. Характерны выделения пластичного голубоватого кварца. Структура пород гранобластовая. Состоит она из микроклина и микроклин-пертита 20–40%, плагиоклаза (№ 15–35) 25–40%, кварца 25–30%, биотита до 1%. Встречаются единичные зерна граната. Аксессории – титаноморфит, апатит, циркон, сфе-рутит, рутил, минерал. В плагиогранитах количество плагиоклаза уве-личивается до 45–70% при почти полном отсутствии микроклина. Вторич-ные минералы – мусковит, зеленый биотит, хлорит.

С лейкократовыми гранитами генетически связаны жилы пегмати-тов мощностью до 5 м, несущих редкоzemельную минерализацию.

Лейкократовые граниты находятся в тесной пространственной и структурной связи с архейскими метаморфическими образованиями. По форме застегания и характеру контактов с вмещающими породами они мо-гут рассматриваться какультраметаморфические образования, сформи-ровавшиеся в главный этап архейской складчатости и метаморфизма. Вместе с вмещающими породами граниты претерпели дайкогенетические пре-образования, связанные с раннепротерозойским этапом метаморфизма.

РАННЕПРОТЕРОЗОЙСКИЕ ИНТРУЗЫ

Среди раннепротерозойских интрузий на территории в подтире-возрастной последовательности выделяются: гранодиориты биотитовые, олигопирит-роговообманковые; плагиограниты листолийные, мусковитовые, биотитовые.

Гранодиориты биотитовые, биотит – роговообманковые (δ_{PR}) слагают небольшой (4 км²) массив среди раннепротерозойских плагиогранитов в верховых Да-лянку-Мамыт. Кроме того, в бассейне Далянку зафиксировано несколько мелких жил гранодиоритов, залегающих согласно или секущих под острым углом гнейсовые жилы гнейсов нижнего протero-зоя.

Гранодиориты представляют собой среднезернистые неясногнейсо-видные пятнистые породы серого или розового цвета. Для них характерно неравномерное распределение биотита, образующего скопле-ния крупных лепешковидных чешуй, подчеркивающих гнейсовыености по-роды. Минералогия гранодиоритов гранобластовая, участками лепи-догранобластовая. Состоит они из плагиоклаза (№ 30–32) 45–48%, квар-ца 20–25%, микроклина 5–7%, биотита 12–14%, роговой обманки 0–15%, эпидота 10–15%. Аксессорные минералы – циркон, апатит, сфеен, ортит.

Раннепротерозойский возраст гранодиоритов принят на основании того, что они прорывают никелепротерозойские метаморфические образо-вания и сами рутильные плагиограниты раннего протерозоя.

Платиграниты биотитовые, биотит – мусковитовые (γ_{PR_1}) слагают в пределах Майско-Удьского грабена ряд крупных (20–100 км) и мелких (1–4 км²) тел, занимаю около 50% его площади. Крупные массивы платигранитов тяготеют к переднему грабену, а более мелкие – к выходам сивашанс-кой свиты. Те и другие антиклины в субширотном направлении согласно с простиранием вмещающих пород. Отношение длины массивов к их шир-

х) Граниты первой фазы (γ_{PR_1}) в районе отсутствуют.

не в среднем составляет 5:1. Гнейсовидность платигранитов сопровождается с элементами залегания вмещающих пород. Контакты крупных массивов с последними в большинстве своем резкие согласные. Мелкие тела имеют постепенные переходы во вмещающие породы через зоны магматитов шириной до 1,5 км. Центральные части крупных тел обычно сложены массивными, нередко порфировидными обогащенными платигранитами, которые к периферии сменяются гнейсовидными двухслойными и мусковитовыми разностями. Как правило, массивы содержат массу ксенолитов интенсивно метаморфизованных вмещающих пород.

Массив Р.Бирания (60 км^2) в отличие от остальных характеризуется простым внутренним строением. Он представляет собой трещинно-кур интрузии, залегающие среди пород архея. Контакты массива почти на всем протяжении тектонические и только на правобережье Днана и Бирания слагающие его гранитоиды проявляют дифортитование пород архея. Массив сложен светло-серыми среднезернистыми слабогнейсовидными сиотитовыми платигранитами, отличающимися постоянством структурных и текстурных особенностей. Лишь на северо-восточном фланге массива они приобретают черты, характерные для платигранитов Майко-Ульского грабена: появляются гнейсовидные двуслоистые и мусковито-ультислюдистые разности.

В тектонически ослабленных зонах (бассейн Чопко, левобережье Бирания) на раннепротерозойские платиграниты накладывается шелочная метасоматоза, в результате чего они приобретают порфиробластическую структуру и состав нормальных гранитов.

Платиграниты – белые, светло-серые, светло-розовые среднезернистые гнейсовидные породы. Микроструктура их гетеробластовая, лепидогранобластовая, гранобластовая с элементами поликристаллической, лепидогранобластовой. Главные минералы: платигранит (#10-30) 50-75%, кварц 20-40%, микроклин 4-10%, биотит 0-5%, мусковит 0,7%, эпилом 1-8%. Суммарное количество темноцветных минералов редко превышает 5-7%. Аксессорные минералы – сфеен, апатит, циркон, магнетит, реже пирит. Платиграниты массива Р.Бирания в отличие от описанных выше имеют областногранитную структуру.

По химическому составу платиграниты (обр. № 149, 151, 152, 152а) наиболее близки к докембрийским гранитам, по Дату, отличающиеся от них резким преобладанием натрия над калием и повышенным сульфурным количеством железа.

С раннепротерозойскими платигранитами генетически связаны жильи пегматиты, образующие согласные и секущие тела как в пределах самих массивов, так и в их экзоконтактовых частях. Наиболее широко пегматиты распространены среди гнейсов Куманской свиты, в верховых Джалыку, где они пророчены к зонам рассланцевания или к склонам

высоким частям складок высоких порядков. Мощность жил 0,5-2,5 м, протяженность 15-20 м. Пегматиты – крупнозернистые массивные белые или розовые породы, содержащие пластинки мусковита, реже блоки размером 2-5 мм и крупные (до 5 см в длину) кристаллы эпилома. Западнее [23, 24, 27] с пегматитами связаны проявления мусковита.

В вопросе о генезисе платигранитов нет единого мнения.

Л.П.Карсаков [27] и А.Ф.Васькин [23] относят их к интрузиям трещинного типа, формировавшимся на поздних этапах раннепротерозойской складчатости. Б.Л.Годзевич [24] отмечает более сложный генезис раннепротерозойских гранитов и платигранитов, которым присущи как черты матматических пород, так и пород анатектического генезиса. Данное, получение на территории листа № 53-IX, позволяет рассматривать крупные массивы раннепротерозойских платигранитов как трещинные интрузии, внедрившиеся в тектонически ослабленные зоны, ограничивающие Майко-Ульский грабен. Согласные и субсогласные тела центральной части грабена являются, видимо, продуктомультратектонических процессов.

Описываемые платиграниты находятся в тесной пространственной связи с породами нижнего протерозоя, близки к ним по генеральным ассоциациям, текстурным и структурным особенностям. Это позволяет считать, что процесс становления платигранитов по времени близок к главному и, возможно, позднему этапам раннепротерозойской складчатости. Радиологический возраст платигранитов (обр. № 149, 151, 152, 152а, табл. 2), определенный по наловым пробам, колеблется в интервале 118-142 млн. лет, что, по-видимому, соответствует этапу мезо-войской активизации района.

ПОСЛЕДНЕЕ ПРОТЕРОЗОЙСКОЕ (?) ИНТРУЗИИ

Д а й к и т а б р о - д и а б а з о в (DTBР?) широко распространены в нижнем течении р.Джалыку среди пород архея, главным образом, вблизи покровов верхнепротерозойских диабазов. Мощность даек 1-5-5 м, реже 15-20 м. Простижение их субмеридиональное (340-360°), реже северо-западное и субдиагональное (270-330°), падение круговое (60-90°) на север и северо-восток. Контакты габбро-диабазов с вмещающими породами секущие разрывы, прямоделанные, реже неровные, зауженные. В залеганиях даек габбро-диабазы более тонкозернистые, пиритизированы, содержат ксенолиты вмещающих пород до 0,4 м в перечинке. Контактовые изменения во вмещающих породах обычно не выражены.

Габбро-диабазы – массивные плотные темно-серые до черных гетерогенные породы. Микроструктура их обитая и покрытое базальтовой

в сочетании с габбровой, калиевитовой. Состоит габбро-диабазы из плагиоклаза (№ 45-65) 40-45%, клиноциркона 0-15%, вторичных минералов - амфибола 30-50%, биотита до 5%, серпента до 5%, альбита до 3%, цеозита до 2%; часто наблюдается магнетит до 5%. Аксессорный минерал - апатит.

Габбро-диабазы прорывают породы раннего докембрия и встречаются в гальке континентальных джелонской смыты. На основании близости петрографического состава габбро-диабазов с верхнепротерозойскими покровными диабазами и тесной их пространственной связи они также относятся к позднему протерозою.

ПОЗДНЕПАЛЕОЗОЙСКИЕ (?) ИНТРУЗИИ

Граниты, гранодиориты и сиениты, доломиты (ург?) слагают несколько мелких (2-4 км²) и два крупных (20 и 40 км²) массива в бассейнах рек Катинай, Немиркан и Мурин-ОНкон. Все они сближены пространственно и расположены в пределах тектонического клина, ограниченного с севера Удымским, а с юго-востока Мурин-ОНконским разломами. Контакты гранитоидов с окружавшими породами в большинстве своем тектонические. Лишь в бассейнах рек Дильину-Мамит и Катинак они прорывают архейские и верхнепротерозойские образования, а в междууречье Немиркан - Мурин-ОНкон перекрываются эфузивами джелонской смыты.

Мелкие массивы сложены однообразными порфировидными биотитовыми гранитами. Строение крупных массивов более сложное. Без видимой закономерности здесь граниты переходят в гранодиориты, массивные разности - в рассланчование, слабо порфировидные породы смешаются породами с резко выраженной порфировой структурой. Характерной особенностью гранитоидов крупных массивов является повышенная температивность.

Внешний вид описываемых гранитоидов разнообразен. Цвет их меняется от розового-серого до грязно-розового, почти красного. Характерна пачистая окраска, обусловленная неравномерным распределением темноцветных минералов. Текстура пород меняется от массивной до сплошеватой и свищеватой. Гранитоиды характеризуются своеобразными микроструктурами. На фоне гранобластовой и графитической структур с элементами структур замещения, катаклаза и коррозии, насыщенные черты вторичного метасоматического происхождения, сохранившаяся радиальная порфировая структура, иногда в сочетании с кипуло-диабазовой. Вкрапленники представлены таблитчатыми, часто корродированными зернами плагиоклаза (№ 15-40) размером 2-4 мм и составляют

до 25-30% объема породы. Основная масса состоит из микроклина 25-35%, кварца 25-35%, изумрудно-зеленой роговой обманки 0-15%, биотита 2-8%. Аксессорные минералы (до 4%) - апатит, сфеен, ортит-диорит, монацит, фергусонит, титаномагнетит. Гранодиориты отличаются более высоким содержанием плагиоклаза (до 50%) и более низким кварца (15-20%) и микроклина (15-20%).

По результатам петрографического изучения в описываемых породах установлена следующая последовательность наложенных процессов: первый этап кремниево-шелочного метасоматоза (микроклин и кварц образуют крупные зерна, корролируют роговую обманку и плагиоклаз, иногда нащупывают их); первый этап катаклаза (проблемно подвергаются все минералы; микроклин пелитизируется, кварц приобретает волнистое погасание); второй этап кремниево-шелочного метасоматоза (свежий решетчатый микроклин корролирует все минералы, в том числе микроклин первой генерации; кварц мелкий с резким погасанием; обраziование трахиических срастаний кварца и полевого шпата); второй этап катаклаза, проявленный ложально, вероятно, волниз разрывный нарушений.

Исходные породы описываемых гранитоидов определить трудно, вследствие их многократной переработки. Вместе с тем, наличие редкowych порфировых структур, высокая основность плагиоклаза, большое количество апатита и титаномагнетита указывает на то, что это были, по-видимому, порфировые породы основного или среднего состава.

По химическому составу граниты (обр. 5248) близки к шелочноземельным гранитам, по Лади, но отличаются от них повышенным содержанием железа и титана (табл. I). По сравнению с Кларком литеоффири, породы содержат повышенные (в 3-4 раза) количества Co, La, Y, Th.

Возрастное положение описываемых гранитоидов остается не вполне ясным. Они прорывают образования верхнего протерозоя и перегибаются эфузивами джелонской смыты. Радиологический возраст гранитов (обр. 4673, 1662) 148 и 165 млн лет (табл. 2), что соответствует средней и поздней кре - одному из этапов тектоно-матматической активизации района. Таким образом, имеющиеся данные позволяют определить возраст этих пород в интервале верхний протерозой - поздний кри. Условно позднепалеозойский возраст описанных гранитоидов принят на основании сопоставления их со сходными образованиями, установленными на сопредельных территориях [6, 23, 24], где их возраст доказывается взаимоотношениями с фациалистически характеризованными отложениями.

ПОЗДНЕВОРСКИЕ-РАННЕМЕЛОВЫЕ СУБУЛКАНИЧЕСКИЕ ИНТРУЗИИ

Диориты ве *п о р ф и р и т* (*μδπ.γ.-K.*) дио-
р и т и н (*μδγ.-K.*) слагают большое количество разнообразных по фор-
ме и размерам тел среди вулканогенных образований джелонской синт.
Тесная пространственная связь их с эфузивами, близость минераль-
ного и химического составов, своеобразие взаимоотношения с вмешав-
шимися породами позволяли рассматривать их как субулканитические об-
разования, коматитичные вулканитам джелонской синт. Субулканити-
ческие интрузии, как правило, слагают отдельные вершины или участ-
ки водоразделов, хорошо дифференцируются на аэрофотоснимках в виде
изометричных или слегка вытянутых в плане тел. Размеры интрузий в
плане колеблются от 0,4 до 30 км². По форме это штокобразные кру-
то поднявшие тела, сильные или слабые пологопадающие (30–
350) лайки мощностью от 10–20 до 150–200 м. Нередко субулканитич-
еские интрузии группируются в протяжение цепочки северо-восточного
или субмеридионального простирания, трассируя, очевидно, матмоло-
вящие разломы.

Контакты субулканитических образований с вмещающими вулкано-
геническими в одних случаях чёткие секущие или согласные, в других по-
степенные с переходами в покровные разности. Случай постепенных
переходов равномерно зернистых диоритов в диоритовые порфириты, а
последних в покровные андезиты наблюдались в скальных обнажениях
р. Мая. В случае резких контактов субулканитические тела в централь-
ных своих частях представлены диоритами, переходящими в эндоконтак-
тах в мелковернистые диориты (р. Немерикан) или диоритовые порфириты.
В эндоконтактах андезитовые порфириты претерпевают перекристал-
лизацию основной массы без новообразования минералов, характерных
для роговиков.

В составе субулканитических интрузий помимо диоритов, диорито-
вых и кварцевых диоритовых порфиритов изредка отмечаются лабаво-
вые порфириты и габбро-диабазы.
Диориты – серые, темно-серые, зеленовато-серые массивные от
мелко- до среднезернистых пород. Микроструктура их призматически-
зернистая, реже оббитовая, субоббитовая, гипидроморфозернистая. Со-
стоят они из таблитчатых зерен плагиоклаза (# 30–40) 50–80%, более
мелких зерен клинопироксена 5–35%, выполняющих, иногда совместно с
биотитом и роговой обманкой (до 10%), интерстиции между зернами
плагиоклаза. В кварцодержащих разностях наблюдается кварц (до 7%).
Аксессорные минералы – рутил (до 5%), апатит, циркон. Вторичные
изменения выражены в замещении пироксена бесцветной роговой обман-

кой, хлоритом, биотитом, эпидотом, карбонатом, в сосуществова-
нии пластиказа.

Диоритовые порфириты – серые, темно-серые массивные, реже
фиолетовые породы порфировой структуры. Фенокристаллы представ-
лены плагиоклазом (# 25–70) 12–50% реже клинопироксеном до 5%.
Основная масса микротипоморфозернистой, микролизматической-
истой или криптокристаллической структуры состоит из лейст пла-
низа (# 30–50) 50–70%, между которыми располагаются зерна калино-
пироксена 5–30%, часто замещенного роговой обманкой, хлоритом, эпи-
дотом. В кварцодержащих и кварцевых разностях имеется кварц (7–
15%). Постоянным компонентом является рудный минерал (до 10%) ино-
да апатит.

В зонах контактового воздействия гранитоидов ульского и джу-
джурского комплексов субулканитические интрузии, как и вмещающие
их эфузивы, ороговикованы.

По химическому составу (табл. I) субулканитические диоритовые
порфириты близки к андезитам, по Дали, (обр. II.13) или диоритам
(обр. 4987), габбро-диабазы наиболее близки к кварцевым габбро
(обр. II.19) или кварцевым базальтам (обр. 4415).

Процесс становления субулканитических интрузий охватывает,
очевидно, широкий диапазон времени: от начального до заключительного
этапов формирования вулканитов джелонской синт. Радиологический
возраст их, определенный калий-аргоновым методом (обр. № 5086, 4435,
К-583), составляет 169±7, 157±5 и 155 млн. лет (табл. 2).

РАННЕМЕЛОВЫЕ ИНТРУЗИИ

Удокский комплекс

Гранодиориты (*γδκ. исл.*) к в а р ц е в н е д и о-
р и т и н (*δοκ. исл.*) слагают Биракандинский массив (около 70 км²)
в междуречье Лялинку-Барракчия, Иванкинский массив (60 км²) в бас-
сейне рек Иланка и Каганнак и окраинные части двух массивов, рас-
положенных на сопредельных площадях: Чалбул-Янокского (около 80 км²)
в верховьях рек Ульчун и Намульга и массива бассейна р. Тала-Бура
(40 км²). Несколько небольших (1–2 км²) обособленных тел установлены
во в верховьях Лялинку и на правобережье Немерикана. Биракандин-
ский и Иванкинский массивы представляют собой трехнаправленные интрузивные
тела северо-восточной ориентировки, сопротягивающиеся узкими (0,2–
0,3 км) зонами ороговикования вмещающих вулканитов джелонской син-
т. Локоморийские образования на контакте с ульским гранитоидами
претерпевают слабое окварцевание, хлоритизацию и пиритизацию.

Центральные части крупных массивов сложены гранодиоритами, которые к периферии тел постепенно переходят в кварцевые диориты, реже кварцодержащие плориты и диориты. Ширина краевой фации от 0,5–1 (Иванкинский массив) до 4–5 км (Чалдук-Яконский массив). Мелкие тела разделены кварцевыми диоритами или диоритами (верхняя Приняку).

Гранодиориты – светло-серые массивные средние и крупнозернистые породы гипидноморфозернистой, реже анатоморфозернистой структуры. Они состоят из патоклаза (~30–40) 45–60%, кальевого полевого шпата 15–20%, кварца 20–25%, роговой обманки 0–10%, биотита 5–10%. Аксессорные минералы – апатит, рутил, ортит, циркон, магнетит.

Кварцевые диориты – серые, зеленовато-серые массивные средне-крупнозернистые, иногда до порфировидных породы. Структура их типично пломорфозернистая, иногда переходящая в призматическаязернистую. Состоит породы из патоклаза (~40–50) 50–70%, кварца 8–15%, роговой обманки до 30%, биотита 2–15%. Кварцодержащие диориты и диориты отличаются призматическойзернистой структурой, включим содержанием темновальных минералов и никеля (0–5%) кварца. Аксессорные минералы – апатит, сфеен, циркон, магнетит; вторичные – эпидот, хлорит, серпентин. По химическому составу гранодиориты Чукского комплекса близки (обр. 672) к гранодиоритам, по Р.Лам (табл. I).

На территории листа N-53-IX гранодиориты Чукского комплекса покрывают юго-западную часть гранитами Джульбарского комплекса. Радиологический возраст их равен 157±5 млн. лет (табл. 2). На левобережье Уда [33] аналогичные гранитоиды перекрыты конгломератами, содержащими фрагменты неокона. На основании этих данных гранитоиды Чукского комплекса считаются ранненемеловыми.

Джульбарский комплекс

Гранодиориты (γ_K, δ), граниты (γ_K, δ), кварцевые диориты (δ_K, δ) и диориты – моноклиниты (δ_K, δ) слагают разнообразные по величине (от 0,5 до 160 км²) интрузивные тела в основном на территории развития Джульбарской синклиниории, реже (Икшандинский массив) среди пород раннего докембрия.

Икшандинский массив (160 км²), расположенный на правобережье Икшандинской реки, имеет в плане сложную, в целом вытянутую в северо-западном направлении форму. В северо-западной части линия контакта интрузии сидеритомагнитистая, сечет горизонты рельфа и согласуется с гравийной поломожелтого магнитного поля, характерного для джульбарской гранитоидной, что может свидетельствовать о кругом падении его.

На левобережье Чаны закартирован западный фланг Чаны-Капчанского массива (130 км²), основная часть которого расположена на листе N-53-X. Контакты массива подчищаются рисунку рельфа, указывающим на полное захвачение его краями. Это подтверждают пестрое цветение наблюдения в верховых р.Верх.Джанда, где возвышенные участки водоразделов сложены ороговикованными турами, а седловины – гранитоидами, а также геобиометрические данные. Описываемый массив характеризуется положительными значениями магнитного поля (1–5 мэ), контуры которого на аэрорамитной карте (рис. I), особенно в бассейне р.Верх.Джанда, соответствуют контурами массива. Этот факт, а также характер контакта интрузии свидетельствуют о том, что на данном участке ее кровля залягает ступенчатально, а плоскость контакта наклонена на восток, юго-восток.

Массивложен среднезернистыми гранодиоритами, участками переколючими в кварцевые диориты. В краевых частях массива выделяется щели порфировидных гранитов и гранит-порфиров, обычно содержащих ксенолиты вмещающих пород. Вулканогенно-осадочные породы джульбарской свиты, вмещающие Чаны-Капчанский массив, ороговикованы (ширина зоны 0,5–1 км), а в бассейне р.Верх.Джанда, кроме того, интенсивно окварцированы и пиритизированы.

Остальные массивы джульбарских гранитоидов представляют собой штокообразные тела изометричной или овальной к ней формы в плане с круглым (70–90°) падением контактов. Внутреннее строение этих массивов неодинаково. Массив хр.Капча (50 км²) сложен кругло- и среднезернистыми диорит-монцонитами, постепенно переходящими к восточному флангу массива в кварцевые диориты. Массив Междуречья Капчан – Капчанкаан имеет отчетливо зональное строение: центральная часть его сложена гранодиоритами, постепенно сменяющимися к периферии диорит-монцонитами. Массив правобережья р.Мая (16 км²) также имеет зональное строение. В его центральной части развиты мелкозернистые, реже среднезернистые граниты, в краевой фации – среднезернистые гранодиориты. Массив, полностью сложенный мелкозерни-

тыми гранитами, закартирован в пристебевой части р. Кононный (12 км²).

В эпиконтактовой зоне массива шириной 20–30 м фиксируются габрилловые породы, отвечающие по составу диоритам и габбро-диоритам.

Вокруг всех перечисленных массивов отмечается зона оротовико-ванних пород джелонской синтн шириной 0,4–2 км.

Гранодиориты – серые с филолитовым или сиреневым оттенком средне- и крупнозернистые массивные породы. Структура их гипидоморфно-зернистая с элементами монцонитовой, монцонитовой, реже криптован.

Состав их определяется наличием платиоклаза (# 40–45) 40–60%, кальцитового полевого шпата 10–20%, кварца 20–25%, биотита 0–10%, рогово-вой обманки 0–10%, клинопироксена 0–3%, реже турмалина до 5%. Аксессорные минералы – апатит, циркон, сфена, рутил.

Кварцевые диориты – темно-серые с филолитовым оттенком средне- и крупнозернистые массивные породы. Для них характерна монцонитовая, гипидоморфозернистая, реже криптовая структура. Состав: кварцевые диориты из платиоклаза (# 40–50) 40–70%, кальцитового полевого шпата 5–15%, кварца 10–15%, клинопироксена 3–18%; реже встречаются роговая обманка (5–12%) и биотит (4–10%). Аксессорные минералы – турмалин (до 1%), апатит, циркон, рутил.

Диорит-мандониты – средне- и крупнозернистые породы филолитово-серого цвета, отличающиеся от кварцевых диоритов более высоким содержанием кальцитового полевого шпата (20–25%) и более основным платиоклазом (# 50–70).

Граниты – массивные мелко-, среднезернистые, изредка порфировидные породы светло-серого, розовато-серого с сиреневым оттенком цвета. Структура их гипидоморфозернистая, реже порфиропластичная с аллитоморфозернистой основной массой. Главные минералы: платиоклаз (# 15–30) 40–50%, кальцитовый полевой шпат 20–30%, кварц 25%, биотит 3–7%, роговая обманка 0–2%, аксессорные минералы – сфена, апатит, циркон, магнетит.

По химическому составу (табл. I) граниты комплекса (обр. 521) близки к гранитам всех периодов, по Даля, кварцевые диориты (обр. 1602) – к кварцевым мандонитам.

Металлогеническая специализация гранитоидов джигулжурского комплекса определяется связью с никелинами золота, серебра, молибдена и полиметаллов. По сравнению с клярком литеосфера онк содержит повышенные (в 3–4 раза) количества Pb, Cu, Zn, Mo, U, Yb.

На рассматриваемой территории указанные гранитоиды прорывают кварцевые диориты ульского комплекса (правобережье р. Дая) и саму рутиловую позднемеловую гранитами (бассейн р. Ниж. Лягана). Радиогеохимический возраст гранитов (обр. 521) и кварцевых диоритов (обр. 3288) комплекса равен соответственно 107 и 107±2,5 млн. лет (табл. 2), что соответствует концу раннего мела.

ПОЗДНЕМЕЛОВЫЕ ИНТРУЗИИ

Граниты лейкокократовые с и о т и т о в ы е (J K₂) слагают среди гранитоидов джигулжурского комплекса небольшой (3 км²), вытянутый в меридиональном направлении массив овальной формы на левоберегье р. Ниж. Лягана.

Граниты представляют собой рововые мелкозернистые породы массивной текстуры, нередко с мигаровыми пустотами. Структура их гипидоморфозернистая с участками микролитиков*, состав определяется присутствием микроклин-пертита 40–50%, платиоклаза (# 10–15) 10–30%, кварца 30–35% и биотита 3–5%. Аксессории – циркон, рутил, рудный минерал.

Лейкократовые граниты широко распространены в зоне Становища-Джулькура и большинством исследователей рассматриваются как позднемеловые. Абсолютный возраст их по данным А. Ф. Засыпкина [23] равен 94 млн. лет.

МЕЛОВЫЕ ИНТРУЗИИ

Д а и к и г р а н и т – п о р ф и р о в (УПК), г р а н о -
д и о р и т – п о р ф и р о в (УПК), л и о р и т о в и х
в и х п о р ф и р и т о в (ДПК), к в а р ц и в и х п и о р и т о –
распространены в пределах района неравномерно. Относительно пусть
насыщенные даеками поля фиксируются в пределах массивов удельных
гранитоидов или в их эпиконтактах (верховья р. Ульчиный, между-
речье Далинку – Тала-Бура), реже вблизи интрузий джигулжурского
комплекса (верховья рек Немерикан и Йурал-Онкан). Спорадически да-
ки встречаются на всей остальной территории. Наиболее распространены
даеки диоритовых порфиритов. Пространение даек преимущественно
северо-восточное (20–60°) реже северо-западное (330–350°), углы
падения колеблются от 10° до вертикальных, мощность 0,5–50 м, про-
тяжность 0,4–0,5 км. Контакты даек с вмещающими городами резкие,
секущие, реже нечеткие, расплющенные или ступенчатые. Взаимоотно-
шения даек различного состава не наблюдалось, поэтому последователь-
ность их формирования осталась неясной.

По петрографическому составу и структуре даековые городы раз-
личны в зависимости от соответствующих породам, описанным в стратиграфии
районе. В пределах территории даек прорывают все южоказахстанские
стратифицированные и интрузивные образования, что свидетельствует
о меловом возрасте большинства из них. Не исключено, что часть да-

ек диоритовых порфиритов может являться корневыми частями поздне-брекчий-ранненемаловых покровов эфузивов, от которых они отличаются только характером темноватых минералов. Расщепление лайки на обра-зования, генетически связанные с определенными интрузивными комп-лексами, в настоящее время не представляется возможным. Вполне веро-ятно, что часть лаек внедрилась независимо от известных в районе интрузий и представляет самостоятельный комплекс пород. В связи с этим возраст описанных дайковых образований принимается меловым.

ТЕКТОНИКА

Территория листа расположена в зоне соединения протерозойской Становица-Лягушника со структурами Ульско-Хотского вулканического пояса [12]. В соответствии с последней схемой структурного райони-рования Хабаровского края и Амурской области [2] в районе выделяют-ся (рис.2):

1. Раннепротерозойская складчато-глыбовая зона.

2. Зона Аянского перикратонного прогиба.

3. Зона Ульского вулканического прогиба.

Докембрийский фундамент в палеозое и мезозое претерпел значи-тельную тектоно-магматическую активизацию.

Раннепротерозойская складчато-глыбовая зона

Она включает три крупные структурные единицы: Чигиткурское и Чогарское глыбовые поднятия, представляющие собой выступы архейско-го фундамента, и разделяющий их Малко-Ульский грабен, сложенный нижнепротерозойскими образованиями.

К Чигиткурскому глыбовому поднятию принадлежат архейские поро-ды северной части листа до широты устья р. Биранда. С юга они отде-лены от пород Малко-Ульского грабена пологовыпуклым Салта-Ляжинским разломом. Сложенная динамитизированная тектоника в пределах глыбы позволяет установить лишь фрагменты складчатых структур в отдельных тек-тонических блоках.

В верховых р. Ульчунь закартирована антиклинальная структура, ось которой проходит в северо-восточном направлении от приусольевой части р. Намульта до левобережья р. Ульчунь с потерянным шириной на юго-запад под углом 40-60°. Центр складки сложено куралахской синтой, крылья и периклинальная часть - Ульчунской и Икандинской синтами. В периклинальной части простирание пород меняется от широтного до меридионального, угол падения пластов от 30 до 80°. Поясие крыло антиклинали системой разрывных нарушений разбито на ряд сло-

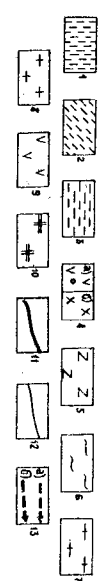
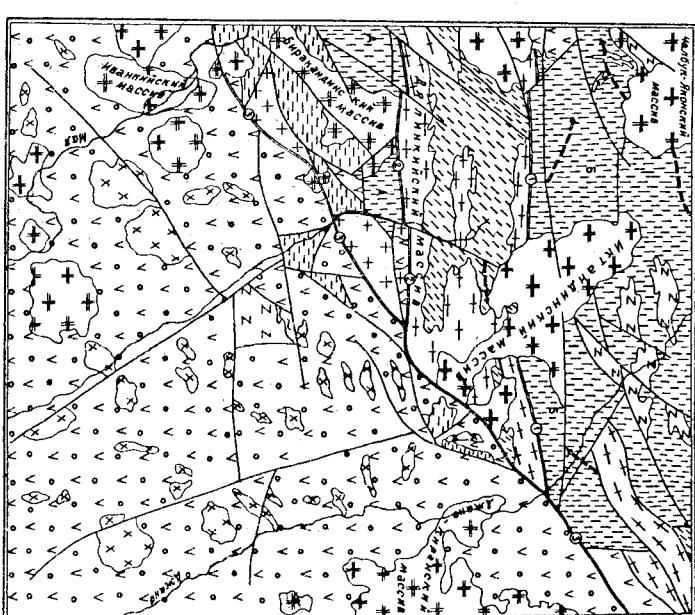


Рис.2. Тектоническая схема

Раннепротерозойская складчато-глыбовая зона: 1 - вид-туы архейского фундамента; 2 - Чигиткурский; 3 - Малко-Ульский грабен; 3 - зона Аянского перикратонного прогиба; 4 - зона Ульского вулканического прогиба; а) тери-тическо-вулканическая формация; б) судоудинитическая судоудини-тическая формация; в) габбро-анортитовая; г) архейские магматические формации; 5 - габбро-анортитовая; 6 - гранитовая; 7 - раннепротерозойская шпатогра-нистовая; 8 - позднегеолозостальная (?) гранитовая; мезозойские: 9 - ан-дезитовая; 10 - гранит-гранодиоритовая; 11 - глауконитовые; 12 - позднегеолозостальная (?) гранитовая; 13 - позднегеолозостальная (?) гранитовая. Магматические формации, связанные с тек-тонической активизацией Докембрийского фундамента.

ков, азимут падения пород крыла 135-180°, \angle 25-40°. Северное крыло несколько круче (45-65°) наклонено на север (азимут падения 0-10°), что свидетельствует о некоторой асимметричности структуры. Крылья антиклинали осложнены мелкими складками шириной 0,2-0,5 км. По направлению на восток (долина р.Джана) преобладают падения пород архея в северных руслах от 20° до вертикальных. Возможно, что на этом участке по системе разломов на поверхность выведено северное крыло описанной выше антиклинали. В то же время не исключено, что здесь обнажается запрокинутая часть антиклинальной структуры, о чем возможно свидетельствует ряд заморов элементов залегания северо-западного простирания (320-330°) на левобережье р.Уланак.

В верховых Итанды фиксируется замыкание синклинальной структуры, сопряженной с описанной выше антиклиналью. Дно складки сложено итандинской свитой, северное крыло – ульчской. Ранее крыло структуры срезано Салта-Джанинским разломом, а восточный фланг ее интрузирован Итандинским массивом мезозойских гранитоморфов. Сохранившееся крыло синклинали осложнено складками высоких порядков шириной 0,5-2 км. Простирание пород субширотное, углы падения колеблются от 40-50° до вертикальных.

В среднем течении р.Джана, вблизи устья Биранды, в тектоническом блоке фиксируется замкнутая часть синклинали, сложенная итандинской свитой. Падение пород меняется от северо-восточного через северное на северо-западное, угол падения на крыльях 60-70°, в центроклинальной части 25-40°.

Фрагменты Чагарского глыбового пояса сохранились в отдельных тектонических блоках в нижнем течении р.Дильинку, в междуречье Немерикан – Дильинку-Мамат и в нижнем течении р.Верх.Кайма. Фрагментарный характер структур, интенсивно проявленные процессы катаклизма и расплывания пород затрудняют расшифровку внутренней структуры Чагарской глыбы. Лишь в нижнем течении Дильинку установлена субширотная моноклиналь с падением пластов ульчской свиты на юг, юго-восток под углами 40-80°, осложненная складками высоких порядков шириной 0,2-1,5 км. Аналогичный характер складчатости предполагается и в тектоническом блоке междуречья Немерикан – Дильинку-Мамат, сложенном Курдялской свитой.

Тектонический блок в бассейне р.Верх.Кайма, выделенный на поверхность из-под эйяузов ижевской свиты, сложен анортозитами и интрузиями их архейских биотитовых гранитами.

В строении архейских структур принимают участие мелкие согласные тела габброидов и лейкократовых гранитов. Те и другие, как правило, тяготят к своим частям антиклинальных структур разных порядков (левобережье р.Намульта, правобережье р.Джана) и к разрывным нарушениям (верховья Тала-Бура, Артик и др.).

Большой Ульческого и Салта-Джанинского разломов, реже на некотором удалении от них, породы, слагающие выступы архейского фундамента, претерпели значительную структурную переработку, выражавшуюся в их рассланцевании, метаморфизации и бластомилонитизации в зонах шириной от 0,2 до 2 км (верховья р.Артик и др.); падение их выдержано в северных руслах под углами 40-80°.

Майко-Ульский грабен, сложенный нижнетретерозойскими образованиями, прослеживается в широтном направлении от западной рамки листа до правобережья р.Джана. Ширина его 10-20 км. С севера породы грабена отделены от образованной архей Салта-Джанинским разломом, от Чагарской глыбы на юге – Ульчинским разломом. На левобережье р.Мурин-Онкон и в среднем течении р.Чолко нижнетретерозойские образования под острым углом срезаются Мурин-Онконским разломом, разделяющим породы докембрия и мезозоя. В западной части грабена породы залегают моноклинально, простирание их меняется от северо-восточного на левобережье р.Кононкий до широтного в долине р.Дильинку и далее на восток. В западной части грабена, до долины р.Немерикан, падение пластов северное под углами 20-85° (наиболее части 40-60°). Восточнее падение меняется на южное при том же простирании и углах наложения. Это известно, вероятно, смещением пластов по разлому, проходящему по долине р.Немерикан, в результате чего в междуречье Немерикан-Мурин-Онкон выведено на поверхность раннее крыло антиклинали, ось которой проходит на широте истоков р.Мурин-Онкон.

Описанные структуры осложнены складками высокого порядка шириной от первых метров до 1,5-2 км, особенно широко проявленных в сибирской свите, характеризующейся тонкой слоистостью пород.

Трещинные и субволнистые со структурами раннего протерозоя тела двухслойных и биотитовых платигранитов тяготеют к краевым и центральным частям грабена. Ставление интрузий платигранитов происходило, видимо, в завершающий этап раннетретерозойской складчатости.

Большую роль в геологическом развитии Майко-Ульского грабена играли ограничивающие его долгоживущие Салта-Джанинский и Ульчинский разломы.

Первый протягивается от среднего течения р.Тала-Бура до правобережья р.Джана в широтном направлении. Он контролируется зоной (шириной 0,5-2,5 км) рассланцеванием сланцев и метаморфизованных пород, претерпевших диадторез фации залежей сланцев и передко кремне-каменистого пегасомата (верховья р.Лев.Артик, р.Чолко и др.) и представляющий собой нормальный взброс с кутумом (60-80°) падением снастителя на север. От него отвечается пеллы ряд более мелких разрывных нарушений северо-восточного простирания.

Удыхинский разлом на территории прослеживается в широтном направлении от левобережья р. Копыни до верховьев р. Пушкии, где срезается более молодым Мурин-Оноконским разломом. Он четко устанавливается по зоне (ширина 0,4-0,5 км, даже 2 км) расщелинованной и мелонитизированных пород докембрия и в меньшей степени мезозоя. Описываемый разлом представляет собой нормальный сброс с крутым (70 - 80°) падением сместителя на север. В юго-западном направлении от него отвечаются опирющие разрывы, обусловливающие блоковое строение восточного фланга Чогарского гипсово-глинняного. О вертикальных перемещениях по Салта-Джининскому и Удыхинскому разломам судить трудно, поскольку они разделяют разновозрастные образования. На сопредельных территориях амплитуда вертикальных перемещений по этим разломам достигает 2,5 км [22, 23].

Зона Аянского перекрестного прохода

На территории фрагменты образований Аянского перикратонного прогиба прослеживаются пологой северо-восточного направления от приустьевой части р. Кононий до среднего течения р. Чопко на протяжении 56 км при максимальной ширине 10-12 км. Слагаемые прошли зеркально-терзовийские образования обнажаются в тектонических блоках, как правило, разобщенных между собой, или в эрозионных овках среди эйхузельно-осадочных образований Челонской свиты. На севере городи простирается по системе разрывных нарушений северо-восточного направления контактируют с архейскими образованиями Чотирской глыбы. На контакте отмечены зоны миллиметров и длиномиллиметров шириной 0,5-1 км. На крае они перекрываются образованиями Удокого вулканического прогиба.

Сильная тектоническая переработка позднетерзовских структур затрудняет их расшифровку. Трудности усугубляются разобщенностью блоков и возможной их переориентировкой в результате глыбовых перемещений. О характере складчатых дислокаций пород верхнего терзоя даёт представление складчатость блока руч. Семёни, где изучался частный геологический разрез этих образований. Блок сложен переслаивающимися между собой кварцевыми альбитогранитами, диабазами и известняками, смытыми в слоистые дистигматитные складки шириной 0,2-1 км; нередки мелкие флексуурообразные складки. Осевые плоскости смылок вертикальны или круто (70-80°) наклонены на юго-запад.

углы падения слоев колеблются от 15 до 70°, наиболее часты 30–40°, простирание меняется от субширотного в центральных частях до субмеридионального на крыльях складок. В междуречье Кононий-Батынек переслаивающиеся известники и диагонали залегают моноклинально с падением слоев на юго-запад под углами 20–65°.

Структуры ряда мелких блоков в приустьевой части р. Мурин-ОН-КОН не поддаются расшифровке вследствие слабой обнаженности и склонной тектоники.

В междуречье Бираканы-Немерикан диагонали интенсивно рассланцованны и миллиметрированы, участками превращены в тектонические слайсы. Породы смыты в мелкие (ширина 10–20 см) дистармомитные складки, осложненные плойчатостью. Осевые плоскости складок наклонены под углами 30–45° на юго-восток.

В верховьях Орого и в среднем течении Чолко верхнепротерозойские диагонали и квадратные антиклины обнажаются в зоризонтных ожках среди образований джелонской свиты. В первом случае породы залегают моноклинально, падение их выдержано в восточных румбах под углами 30–60°. В среднем течении Чолко породы более сложно расположены, простирание их субмеридиональное, падение в западных и восточных румбах, углы падения 20–80°.

При доминировании субмеридиональном простирации пород верхнего протерозоя в отдельных блоках сами блоки обнажаются в полюсе, ориентированной в северо-восточном направлении. Этот факт свидетельствует о том, что в геологическом прошлом породы протерозоя имели широкое распространение к северу от этой полосы, где в наименее времени полностью зандрирована.

Разлом, отделяющий структуры Анского перикратонного прогиба от архея Чотарского глыбового поднятия, замаскирован более поздними тектоническими движениями, мессойскими интрузиями и зоризонтиальными джалонской свиты. Фрагменты его сохранились в нижнем течении р. Кононий и в бассейне р. Дильину-Мамят. Разлом контролируется мощной зоной (0,5–1 км) рассланцованных и миллиметризованных пород архея и верхнего протерозоя. Он представляет собой нормальный взброс с круговым (60–90°) падением смесятеля по азимуту 320–330°. В бассейне р. Дильину-Мамят простирание разлома несколько меняется (азимут падения 345–350°), углы падения смесятеля становятся пологими (50–70°). Амплитуда вертикального перемещения по разлому значительно и, видимо, превышает 2 км, поскольку в нижнем течении р. Кононий им почти полностью срезается икандинская свита архея, а в бассейне р. Дильину-Мамят верхнепротерозойские породы соприкасаются с ульчской свитой.

Зона Ульского вулканического протока

Породы протока занимают более половины территории, слагая его юго-восточную часть. В большинстве случаев контакты их с более древними породами тектонические, редко они с разрывом залегают на обра- зованных докембррием и позднего палеозоя (?). Формирование Ульского вулканического протока происходило на разнородном консолидированном фундаменте в период мезозойской активизации района. Поэтому его структурам присущ ряд специфических особенностей, резко отличающих их от структур фундамента. Для вулканических и вулканоген-но-осадочных образований характерны внутренние перерывы и несогла- сия, быстрые фациальные изменения в вертикальном и латеральном из- вержений, но и блоковыми движениями фундамента в период формиро- вания протока. В результате в пределах протока были созданы своеоб- разные блоково-складчатые структуры, в которых дислокированние участки сочетаются с ненарушенными. В связи с этим, элементы зале- гания пород джелонской свиты характеризуются разнообразием направ- лений как простирания, так и падения отдельных прослоев и потоков. Углы их наклона колеблются от 5 до 80°, преобладает 30–35°. Напдо- лее кругое залегание, видимо, обусловлено приуроченностью пород к вулканическим центрам или блоковыми перемещениями по разломам. В депрессионных участках (левобережье р.Мая, правобережье р.Немери- кан) породы залегают моноклинально с падением пластов на север под углами 10–20°. В ряде случаев (верховья Эльга-Макт, Туктана и др.) зафиксированы куполовидные структуры диаметром 1–2 км, представляю- щие собой, по всей вероятности, фрагменты палеовулканических по- строек. В целом же для вулканогенно-осадочных пород Ульского протока характерны широкие брахиоморфные структуры.

Субвуликанические интрузии и диоритовых порфиритов протока, коматитовые эфузивы джелонской свиты, группируются в ряд протяженных цепочек северо-восточного и субмеридионального простирания, контролируя, вероятно, систему разрывных нарушений, служивших подводными каналами для магматического расплава.

Главенствующее значение в формировании Ульского вулканического протока имели крупные разломы глубинного заложения северо-восточного и субмеридионального простирания, входящие в систему краевых разломов Монголо-Охотского пояса [16]. Эти разломы, по-видимому, являются в результате разации земного фундамента в процессе раз-

структуры, обусловленные тектонической активизацией
докембррийского фундамента

Тектоническая активизация района, вероятно, связана с загово- нием и развитием Монголо-Охотской геосинклинальной области [Х]. Наи- более ранние тектонические движения в докембррийском фундаменте про- изошли в позднем палеозое. Они затронули, главным образом, зону Аянского перикратонного протока и, частично, археди Чотарской глы- бы. В результате этих движений возникли мощные зоны рассланцевания и катаклаза, по которым прошло внедрение интрузий позднелес- юзских (?) гранитоидов.

Мезозойская тектono-магматическая активизация проявилась бо- лее широко. На первых этапах формирования Ульского наложенного про- тока в тектонические движения был вовлечечен практически весь докем- брийский фундамент. Произошло обновление старых и заложение новых разломов. Наиболее интенсивные движения происходили по зонам глу- бинных разломов, которые послужили подводными каналами для мати- бильного состава. Единичные пулканические центры возникли в зоне

Х) Более вероятно предположение о формировании Ульского вулканического протока в окраинной части Джалжура-Станового склона вдоль ограничивающего его с юга Монголо-Охотского глубинного разлома вне связи с геосинклинальным процессом. П.И.М.Р.Е.Д.
XX) Некоторые исследователи [17] придерживаются точки зрения

взятая соседней Монголо-Охотской геосинклинальной области. Боль- шинство из них перекрыто вулканогенно-осадочными образованиями дже- лонской свиты и устанавливается по цепочкам субвуликанических инtru- зий. Одним из крупнейших разрывных нарушений в пределах листа явля- ется Мурин-Онкенский разлом, представляющий собой, вероятно, часть Северо-Ульского разлома, который отличается от северо-запада Уль- ского протока. Он прошел длительный этап развития с Верхнего докем- брия до конца мезозоя. [16]. Мурин-Онкенский разлом простягивается от правобережья р.Анатика в северо-восточном направлении до вост- точной рамки листа на протяжении 75 км. Он контролируется зоной катализированных пород шириной 0,4–0,7 км. Замеры элементов зале- гания смещения указывают на кругое (80°) его падение на северо- запад, т.е. разлом представляет собой нормальный взброс с амплitu- дой вертикального перемещения более 2500 м.

Салг-Джанинского разлома (правобережье р. Тала-Бура), Улукунского разлома (межгорье Немерикан - Мурин-Онкон) и в бассейне р. Биранды. Продукты деятельности этих вулканических центров характеризуются почти полным отсутствием пирокластического материала в отложениях от собственно зоны докотого вулканизма. Редкие замеры флициальности зёрнушков на правобережье р. Тала-Бура указывают на пологое ($20-25^{\circ}$) их падение в северо-восточном направлении.

Внедрение мезозойских интрузий обусловлено купными расколами фундамента северо-западного, северо-восточного и субмеридионального направлений. Часть интрузий носит ярко выраженный трещинный (Биракандинский, Иванкинский массивы) или плоковобразный характер (Межгорье Катынек-Катыннакан), другие характеризуются пологим залеганием и сложной конфигурацией в плане (Иктиагинский, Джанакараский массивы).

Поздний этап активизации района ознаменовался глыбовым перемещением, затронувшим все до четырёхугольные образования. В результате этих движений возникла система различных нарушений северо-западного, субширотного и северо-восточного направлений. На местности они контролируются зонами катаклизма и брекчирования шириной 20-100 м или промолинейными участками речных долин. Амплитуды вертикальных перемещений по этим нарушениям обычно не превышают первых сотен метров, реже достигают $1000-1500$ м, и в этом случае на поверхность выделяются породы локоморийского фундамента. Плоскости сместителей в большинстве своем субвертикальны, иногда (правобережье р. Немерикан) наклонены под углами $30-40^{\circ}$. Разрывные нарушения позднего этапа активизации имеют большое металлогеническое значение. Часто в зонах этих разломов происходят гидротермальные изменения, выразившиеся в окварцевании, пиритизации и карбонатизации город (реки Катынек, Верх. Лягана). Молодые разрывные нарушения со значительными амплитудами вертикальных перемещений контролируют резкую минерализацию бассейна среднего течения р. Немерикан. Блоковые движения в районе проходили и в более позднее время, что помогло за собой формирование горной системы хребтов Станового и Джульхата.

ГЕОМОРОЛОГИЯ

Современный рельеф района сформировался в результате экзогенных процессов, вызванных неотектоническими поднятиями системы хребтов Станового и Джульхата. Немалая роль в формировании рельефа принадлежит также таким факторам, как состав и условия залегания разлитых в районе горных пород, климат и многолетний мерзлота. Ра-

он характеризуется чередованием участков кругусклонного среднегорного и пологосклонного низкогорного рельефа. Здесь выделены следующие генетически однородные поверхности: наклонные денудационно-эрозионные, эрозионно-денудационные, денудационно-экзарационные; субгоризонтальные эрозионно-денудационные, денудационные, денудационно-аккумулятивные и разновозрастные поверхности, созданные деятельности рек и ледников. Большинство этих поверхностей хорошо делируется на аэрофотоснимках.

Денудационно-эрзионные поверхности занимают водораздельные участки хребтов Немериканского, Майского, Капча, Саладак и их отрогов. Они располагаются на абсолютных высотах $300-1750$ м, возвышаясь над днищами долин рек на $200-1100$ м. Денудационно-эрзионные поверхности подразделяются на крутие ($25-40^{\circ}$) и поверхности средней крутины ($15-25^{\circ}$).

Для первых характерны узкие ($2-10$ м) скалистые пилообразные, реже плоские или слаборы无关的 водораздельные гребни. Форма склонов вогнутая, реже выпуклая, крутизна их в приводораздельной части достигает 40° , уменьшается по направлению к днищам рек до 25° . Склоны расчленены многочисленными V-образными распадками и долинами мелких ручьев, имеющими кругой, часто ступенчатый продольный профиль.

Поверхности средней крутизны расположены преимущественно на высотах $100-700$ м, занимая обширные территории в южной части лесостепи. Для них характерны относительно широкие ($50-200$ м) и плоские водоразделы, увеличение остротами вершинами конусовидной формы. Склоны прямые и пологовыпуклые, интенсивно расчленены мелкими распадками. Долины крупных водотоков, эродированных денудационно-эрзионную поверхность, характеризуются узкими ($30-200$ м) днищами, имеют выпуклые, часто обрывистые берега, кругой ($3-7^{\circ}$) продольный профиль. Русла на $2-3$ м врезаны в днища долин, нередко обнажая коренное ложе (верховья рек Немерикан, Мурин-Онкон и др.). Встречаются антепеденные участки долин (р. Чопко). Долины этих водотоков по морфологическим особенностям неблагоприятны для накопления россыпей.

В формировании денудационно-эрзионных поверхностей главная роль принадлежала процессым эрозии и гравитационного сноса, о чём свидетельствуют резкие контуры водораздельных требней, кругие, интенсивно расчлененные склоны.

Эрозионно-денудационные поверхности распространены преимущественно в южной части района, в пределах абсолютных отметок $100-300$ м. Они характеризуются широкими, плоскими и выпуклыми водоразделами с редкими куполовидными вершинами, которые разделяются неглубокими, широкими седловинами. Склоны их имеют прямую или слабовогнутую, ре-

же пологоволнистую форму, расчленены долинами водотоков с широкими заболоченными днищами. Продольный профиль рек пологий (около 2°), русла их причудливо меандрируют. Поймы рек развиты слабо, пойки отсутствуют. Косы, русла врезаны в надпойменные террасы на глубину 1,5–2 м. Слабо расчлененный рельеф, стяжанные мягкие формы водо-разделов и склонов свидетельствуют о формировании этих поверхностей под влиянием процессов денудации.

Денудационно-эрозионные поверхности, представленные склонами и днищами цирков, встречаются на склонах северной экспозиции хребтов Немировского, Майского, Саладжак, Капча и их отголовов в пределах абсолютных отметок 1000–1200 м. Цирка цирков I–I,8 км, относительные превышения кромки над днищами 300–500 м. Задние стени их крутие (45 – 60°), нередко отвесные, скалистые или покрытые незакрепленными осадками, имеют пилообразную верхнюю кромку, рассеченнуую узкими промоинами и расщелинами. Участки долин рек, примыкающие к циркам, на проложении первых 1–3,5 км имеют трапециoidalную форму; ниже затронуты крупными (до 1 м) валунами. Вершины крутие, обрывистые; продольный профиль ступенчатый с углом 7 – 8° .

Субгоризонтальные поверхности, созданные деятельностью рек, представлены площадками аккумулятивных террас. Раннечетвертичная (?) терраса сохранилась в междуречье Немирован–Тутканда в виде останца (I–II км 2). Высота террасы 30–50 м. Уступ высотой 4–25 м имеет полого-выпуклую или приподнятую форму, угол наклона 15 – 45° . Поверхность террасы, слегка (I – 2°) наклоненная в сторону реки, слабо расчленена неглубокими (до 3 м) широкими заболоченными и кочковатыми промоинами. Тыловой шов террасы подчеркинут заболоченным пред-террасовым понижением.

Средне-четвертичная поверхность сохранилась в долинах рек Немирован, Джана и Тутканда, где представлена террасой высотой 15–30 м. Уступ ее прямой или слабовыпуклый крутизной 10 – 20° и высотой 4–8 м. Поверхность террасы имеет слабый (2°) уклон в сторону рек, часто заболочена, почковата. В междуречье Тутканда–Джана на ней широко развиты бугры щебня до 5–10 м в диаметре и полузастроенные озерами округлого или приподнятой формы.

Раннеприморская четвертичная поверхность представлена I надпойменной террасой высотой 4–5 м, сохранившейся в долинах всех рек района. Ширина ее колеблется от 30 м до 3 км, протяженность от первых десятков метров до 25 км. Уступ террасы высотой 2–8 м выражен четко, в местах портала рекой – обрывистый. Поверхность горизонтальная или слабо наклонена к руслам рек, расчленена многочисленными промоинами или заболоченными старчами. Соединение ее с террасами более высокого уровня плавное. Современная поверхность развита

в долинах всех рек и представлена высокой (2–4 м) пойменной террасой шириной от нескольких метров до 3 км. Уступ террасы крутой, часто обрывистый с ясно выраженной склонкой. Поверхность ее ровная или слабоволнистая расчленена протоками и старчами, врезанными на 1,5–3 м. Тыловой шов отчетливо выражен, часто к нему приурочены предтеррасовые понижения.

Позднесоременная поверхность развита в долинах всех рек и ручьев и представлена низкой (до 1,5 м) поймой шириной от нескольких метров до 1,2 км. Поверхность ее неровная, бугристая с большим количеством кос, островов и проток.

Поздневерхне-четвертичная поверхность ледникового происхождения (0,2–2 км 2) развита в высокогорной части хребтов Майского, Тутканского, Саладжак и Капча. Поверхность морена неровная, грядово-холмистая, часто встречаются заболоченные участки и ледниковые озера-овальной формы площадью 0,1–0,2 км 2 и глубиной до 3 м. Со стороны устья цирка озера часто ограничены валом высотой 5–10 м. Поздневерхне-четвертичная поверхность водно-ледникового происхождения развита в низовых долинах левых притоков р. Джана, на юго-западных склонах хр. Саладжак. Слагавший ее материал представляет собой переотложенную морену. Поверхность слабо (1 – 3°) наклонена в сторону р. Джана и представляет собой чередование протяженных буристых валов, разделенных широкими промоинами глубиной до 10 м. От ранневерхне-четвертичной поверхности она отделена крутым (70°) уступом высотой 8–15 м.

Гидросеть района заложилась в результате тектонических поднятий системы хребтов Станового и Джульчура в последнеоледеновое время [2]. Максимальный эрозионный врез был в дюрантическое время, после чего рисунок гидросети не претерпел существенных изменений. В дальнейшем периоды поднятий в районе сменялись этапами стабилизации, о чем свидетельствует наличие в долинах рек до 3–5 уроцней террас. В настоящее время главные реки выработали профильный профиль, что свидетельствует об относительной стабилизации тектонического режима района. Однако некоторые участки рассматриваемой территории испытывают медленные блоковые возмущения небольших амплитуд, в результате чего в верховых рек отмечается слабоактивная регressive зона, а в долинах некоторых водотоков встречаются антecedентные участки и висячие устья притоков.

ПОЛЕЗНЫЕ ИСКОПАЕМЫЕ

Территория листа полностью ополоскована в м-бе 1:200 000 с применением штупного, шлифового гидрохимического опробования и опробования донных осадков. На некоторых рудопроявлениях и ореолах проводились поисковые работы в масштабе 1:25 000 и 1:10 000, с отбором металлогеометрических, штучных и борозовых проб, проходкой горных выработок для вскрытия рудных тел. При поисках ртути и золота проводилось щлифовое опробование ледников. Этими методами установлены проявления титаномагнетитовых руд, цветных и редких металлов, редких земель, золота.

МЕТАЛЛИЧЕСКИЕ ИСКОПАЕМЫЕ

ЧЕРНЫЕ МЕТАЛЛЫ

Железо и титан. Проявления титаномагнетитовых руд в районе генетически связаны с архейскими габбро и анортозитами. Рудные минералы магнетит и титаномагнетит образуют в этих породах маломощные (0,2–0,4 см) прожилки и гнезда. По данным химического анализа штучных проб, содержание Fe₂O₃ в них колеблется от 4,4 до 8,5%, TiO₂ от 1,96 до 4,01%.

ЦВЕТИЧЕСКИЕ МЕТАЛЛЫ

Медь. Рудопроявления меди на территории связаны с кварцевыми жильями и участками гидротермально измененных пород в зонах каркаса. Отмечается типичное этих проявлений к Мурин-Онкенскому разрезу.

На Немериканском рудопроявлении меди (Ш-2-3), расположеннном вправо от борту долины р. Немерикан, в диабазах верхнего протерозоя обнаружены три кварцевых прожилки мощностью 1–3 см. Простирание проявления северо-восточное (20–25°) при вертикальном падении. В кварце отмечаются обильные пустоты выщелачивания и примазки малахита. По данным спектрального анализа, в кварце содержится 0,1% меди. В районе, кроме того, установлено семь соленых ореолов расчины меди с содержанием 8–14 мг/л. Ореолы приточны к выходам верхнепротерозойских дikesов и краевым частям джигитурских гранитов и тянутся к Мурин-Онкенскому разрезу.

Свинец. Проявление свинца находится в связи с гидротермально измененными породами в тектонически ослабленных зонах. Помимо рудопроявления Ш-2-1 полиметаллического типа с содержанием свинца до 0,5%, он обнаружен в бассейне р. Верх. Джиганка. Здесь проводились поисковые работы на золото в гидротермально измененных вулканитах джиганской свиты. Во многих штучных пробах спектральный анализ совместно с медью и цинком установлено наличие свинца в количестве 0,01–0,1%. Единичные зерни галенита отмечены в отдельных штихах из аллювия рек Крестая, Селенга, Мурин-Онкон.

Цинк.

Шлифовый ореол сфalerита (1–4-1) площадью 9 км² установлен в бассейне правого притока р. Биранды. В 15 отобранных здесь штихах содержатся единичные зерна сфalerита. Ореол приурочен к разногорю, который контролируется зоной катаклизма, рассланцевания и окварцевания пород. Спектральным анализом в этих породах установлено присутствие цинка до 0,01%. Единичные зерна сфalerита содержатся в отдельных штихах из аллювия р. Биранды и в пяти штихах – из левых притоков р. Лежна.

Олово. Глазничные зерна кассiterита установлены в 18 штиховых пробах из аллювия р. Туткана и ее правого притока.

Рудопроявление Ш-2-1 приурочено к контакту трещиноватых известняков верхнего протерозоя с пачками и кварцевыми альбиносами. Непосредственно на контакте в известняках отмечены призмы малахита, азурита, вкрашенность перусита и блеклых руд. Спектральный анализ этих проб установлено присутствие в них меди (0,03–0,5%), свинца (0,01–0,5%), цинка (0,03%) и серебра (0,0003–0,003%).

Рудопроявление П-4-1 расположено в левом борту долины р. Чолко. Здесь в гранодиоритах джигитурского комплекса встречаются четыре кварц-полевошпатовые жилы (запад падения 10°, 135°) мощностью 1,5–2 м, протяженностью 20–60 м, расположение на расстоянии 2–4 м одна от другой. Жилы содержат вкрашенность халькопирита, примазки малахита. Спектральным анализом проб установлено присутствие в них меди (0,05–1%), цинка (0,01–0,05%), свинца (0,01–0,01%), реже золота (0,01–0,1 г/т). Наиболее высокое содержание меди, по данным химического анализа, составляет 1,68%.

Рудопроявление П-2-1 представлено кварцевой жилой, прорывающей антиэзитовые породы джиганской свиты. Мощность жилы 10–15 см, простирание северо-восточное (20–25°) при вертикальном падении. В кварце отмечаются обильные пустоты выщелачивания и примазки малахита. По данным спектрального анализа, в кварце содержится 0,1% меди. В районе, кроме того, установлено семь соленых ореолов расчины меди с содержанием 8–14 мг/л. Ореолы приточны к выходам верхнепротерозойских дikesов и краевым частям джигитурских гранитов и тянутся к Мурин-Онкенскому разрезу.

П и к е л ь. Спектральный анализ штучных и сколовых проб из архейских габбро-анортозитов показал повсеместное наличие в них никеля в количестве 0,01–0,05%, входящего, видимо, в качестве изоморфной примеси в породообразующие темноцветные минералы пород.

Р е п л и к а м е т а л л и ч е с к о г о р а с с е я н и я

М о л и б д е н. В эндоконтактовой части Итчандинского массива сопровождением южных осадков выявлен образ рассеяния молибдена (18 км^2) с содержанием металла $0,0003-0,003\%$. В двух шихах в пределах ореола установлены единичные зерна молибдита. В таких же количествах молибдит обнаружен в разрозненных шихах преобладающе в пределах развития пород ложембрий.

Б о л ь ыш а м. Единичные зерна шеелита отмечаются в большинстве шлиховых проб из аллювия водотоков, аэродириущих породы до-кембрия или массива гранитоидов Дагестанского комплекса.

Р р у т ь . Гудопроявления рутила в редких щебенках
кам гипотермально измененных городы близи разрывных нарушений.
Рудопроявление II-2-2 ("Мостик") расположено в бассейне одноименного ручья в тектоническом разрыве субмеридионального простирания, по которому контактируют известники верхнего протерозоя с фундаменными джелонгской свиты. Разлом контролируется зоной (10-50 м) катахлазированных, миллиметризованных и окварцованных городов. Сместитель его наклонен на запад под углом 35-45°. Шлифом опробованы лепестки доломия вдоль разлома, установлены ореолы рассеяния с содержанием киновари 5-20 г/т³. В пределах ореола часто встречаются обломки квадра, окварцованных известняков и андезитовых порфиритов, содержащих окрасленность киновари (0,5-5 мм), реже скопления минерала в виде прожилков мощностью 1-2 см. Итогда встречаются рутиловые обломки

по нашей рекомендации в зимний период 1971-1972 гг. на рудо-
проявлениях силами Удской экспедиции проведены детальные поисковые
работы. Всего разлома в известниках канавами вскрыто рудное тело
почти мономинеральной киповари мощностью до 4 м. Тело прослежено
по простиранию на 10 м, далее оно портится под влиянием переко-
ской сагги. Точные параметры рудного тела еще не установлены, но сочи-
ти по благоприятной геологической обстановке и большому количеству
рудных обломков в левобережье этого участка, здесь можно ожидать инте-
ресное месторождение ртути.

Шлифованием в бассейнах Эльга, Эльгакан и среднего течения р. Немерикан выявлен обширный (около 500 км²) ореол киновари (Ш-2-4). В пределах ореола развиты преимущественно вулканогено-осадочные образования джетонской синклиниальной насыщенные телами субвулканических диоритов. Среди этих пород в тектонических блоках обнажаются архейские аккортизы и граниты (р. Пиж. Кеана, правобережье Эльга-Макит), верхнепротерозойские диабазы и известники и позднепалеозойские (?) гранитоиды (нижнее течение р. Мурин-Онкой, русл. Крестак и др.). Содержание киновари в шлифах в большинстве случаев знакована, реже (ручи. Мостак, Эльга-Макит, левобережье р. Немерикан) встречаются десятки зерен и весомые количества.

С у рь ма . Повышенные содержания сульфидов (0,005–0,5%) установлены в концентратах гидрометаллических проб, отобранных в бассейне р. Маг и по отдельным притокам р. Дикана. Сульфиды в количестве 0,01–0,1% отмечена в гидротермально измененных породах на рудопроявлениях Ш-2-2.

В и с м у т. Единичные зерна базовистита установлены в 12 шликах из аллювия руч. Туголяк (левый приток р.Джана), зородища которого массив гранитоидов Дагестанского комплекса.

В я т о р о д н е м е т а л и

Золото. Рудопроявление I-4-3 ("Верх.Ликанды") расположено в бассейне одноименной реки, в 9 км выше ее устья. Оно привлечено к контакту пологозалегающей интрузии гранитоподобных дунитов Джульбарского комплекса (Джана-Кирсанский массив) с вулканитами Джелонской свиты.

Последние в экзоконтакте интрузии интенсивно ороговикованы, окварцированы и пиритизированы. Здесь широко развиты зоны катаклаза, в которых породы сильно гидротермально перекалены. Среди гранит-порфиров и гранитоморф-порфиров, слагающих краевую часть массива, встречается большое количество квадратных хил. мощностью до 0,5 м.

Шлихами опробованым деловым в трех пробах установлено присутствие 1-2 знаков золота. Спектральным анализом в 48 литехнических пробах обнаружено золото в количестве 0,01-0,03 г/т, а также совместное наличие синита, меды и цинка до 0,07%.

Шлиховой ореол рассеяния золота (П-3-1) площадью 50 км² охватывает бассейн среднего течения р. Мунг-Онок и ряд притоков рек Тунганиц и Верх. Кама. В его пределах единичные знак золота установлены в 26 шлиховых пробах. Ореол простирается к южным раннепротерозойским гранитом, вулканогенно-осадочным образованиям плюенской свиты и позднепалеозойских (?) гранитов.

Шлиховой ореол золота (1-4-2) установлен в бассейне р. Верх. Лянтары, площадь ореола около 28 км². Золото в количестве 1-2 знаков установлено в 10 шахтах.

Знаковые содержания золота отмечены в разобращенных шлиховых пробах из аллювиальных рек Дана, Немерикан, Туктанса, Туктантан. Спектральный анализ золота в количестве 0,01-0,1 г/т установлено в нескольких штуцерных пробах из южного кварца и гидротермально измененных гнейзов в бассейнах рек Ульчумай, Немерикан.

НЕМЕТИЧЕСКИЕ ИСКОПАЕМЫЕ

Графит. Графит встречается в качестве породообразующего материала в гнейсах ульчумской и китайской свит аллю. Мощность прослоев графитовых и графит-бюштовых гнейсов от 0,3 до 30 м, кернение мелкочешуйчатого (1-4 мм) графита 1-6%, реже до 10%.

СТРОИТЕЛЬНЫЕ МАТЕРИАЛЫ

Породы района не подвергались специальному изучению как материалы для нужд промышленного и гражданского строительства.

Мезозойские и частично раннепротерозойские интрузивные образование пригодны для использования в качестве бутового камня в строительном и дорожном деле. Это массивные мелко- и среднезернистые, слабогетиноватые породы, часто образующие монолиты до 1,5x2x3 м. Архангельские мраморы, как правило, трещиноваты и пригодны в качестве облицовочного материала. Мрамор белого цвета, широко раз-

витое в среднем течении р.Дана, по-видимому, пригодны для мелких скульптурных погребков.

Известники верхнего протерозоя, судя по химическим анализам их образцов с соседней территорией [24], пригодны для получения строительной известки и портланд-цемента, а их коломистистые разности - для магнезитового портланд-цемента.

Аллювиальные отложения рек Мая, Дана, Немерикан в ряде случаев представляют хорошо сортированные галечники, гравием, полимиктовыми песками. Так, хорошо сортированные галечники слагают пласти мощностью 4,5 м в отложениях II надпойменной террасы р.Дана, вблизи устья р.Орого. На 60-70% они состоят из гальки размером 2-4 см и на 30-40% - размером 5-6 см. Заполнителем является среднезернистый полимиктовый песок (10-20%), содержание пильватых частиц не превышает 5%. Эти гальванические могут быть использованы в дорожном строительстве, поскольку галька, представленная мелким кварцем, реже изверженными и метаморфическими породами обладает достаточным сопротивлением к истиранию. Аналогичные галечники мощностью 2-3 м широко распространены в долине р.Мая. В качестве заполнителей бетонов и растворов могут быть использованы среднезернистые (размер зерен 0,25-0,5 мм) полимиктовые пески, слагающие высокие (30-50 м) террасы в долинах рек Немерикан и Дана. Содержание в них глинистых примесей не превышает 10%.

Запасы строительных материалов на территории значительны. На современной стадии экономической освоенности они не имеют практического значения, однако в случае необходимости могут быть широко использованы для нужд промышленного и гражданского строительства.

ПОДЗЕМНЫЕ ВОДЫ

Существенным фактором, влияющим на режим питания, широкий и условия залегания подземных вод, является многолетняя мерзлота, повсеместно распространенная в районе. Она обусловливает развитие надмерзлотных, межмерзлотных и подмерзлотных вод, подразделенных по условиям дренирования на пластово-поровые, трещинные и трещинно-жильные.

Пластово-поровые надмерзлотные воды залегают в долинах отложений разнотипа в пределах ленточного слоя. Водоемы излияния породы представляют лебнем и состоят из обломков различных размеров. Водоупором им служат многолетнемерзлые и монолитные склонные породы. Питание вод происходит, главным образом, за счет инфильтрации атмосферных осадков, в меньшей мере - посредством гидравлической связи с надлежащими водами. Выходы этих вод приурочены к подножи-

ям и перегородкам склонов, реже — к водораздельным пространствам. На плоских водоразделах и пологих склонах эти воды способствуют заболачиванию местности. Источники имеют лебит до 0,2 л/с. Вода пресная (сухой остаток 24–29 мг/л), очень мягкая (жесткость 0,15–0,18 мг·экв/л), по химическому составу гидрокарбонатные кальциево-натриевые. Среда слабокислая ($\text{pH} = 6,3\text{--}6,5$). Вода прозрачна, без цвета и запаха.

Пластово-горловые надмерзлотные воды аллювиальных отложений широкого распространения в долинах крупных рек района. Водоизмещение предстаияние песками и валуно-глыбочниками образованиями ледяного слоя мощностью 0,3–2,5 м. Режим этого типа вод неустойчен. В питании их принимают участие атмосферные осадки, талые снеговые воды, поверхностьные воды рек. В течение всего летнего периода происходит непрерывное увеличение запасов вод. Зимой они расходуются на питание рек, образование наледей и увеличение слоя сезонной мерзлоты. Естественные выходы этих вод на дневную поверхность встречаются в основаниях высоких террас (левобережье р.Лдана и др.). Источники находящиеся, лебит их колеблется от 1 до 5 л/с. Воды пресные (сухой остаток 28–40 мг/л), очень мягкие (жесткость 0,21–0,37 мг·экв/л), без цвета и запаха, по химическому составу гидрокарбонатные кальциево-магниево-натриевые. Содержание свободной углекислоты не превышает 10 мг/л. Вода слабокислая ($\text{pH} = 6,1$ –6,6), холодные (2–3°), имеют хорошие питьевые качества.

В метаморфических, интузивных и вулканогенно-осадочных породах района развиты трещинные надмерзлотные воды. Водоизмещение пород зависит от степени их трещиноватости. Питание вод происходит за счет таяния мерзлоты, атмосферных осадков и связя с подмерзлотными водами. Источники трещинных вод обладают небольшими лебитами (0,02–0,1 л/с), по типу они нисходящие, реже восходящие (верховые р.Лдинку). Воды пресные, сладко-минерализованые (сухой остаток 15–158 мг/л), очень мягкие (жесткость 0,07–1,37 мг·экв/л). По химическому составу они гидрокарбонатные кальциево-натриевые, реже натриево-кальциевые, среда от слабокислой до нейтральной ($\text{pH} = 5,4\text{--}6,9$). Содержание свободной углекислоты 8,8–19,8 мг/л, вода прозрачна, без цвета и запаха, холодные (2–3°).

Широкое развитие в районе наблюдается (рр. Мурин-Оюкон, Орото, Дядинку) и гидролакколитов (р.Лдинку) связано, вероятно, с деятельностью межмерзлотных вод в сквозных таликах, через которые осуществляется гидравлическая связь между надмерзлотными и подмерзлотными водами.

Трещинно-жильные подмерзлотные воды приурочены к разрывам, нарушениям, зонам рассланцевания и магматизации пород. Выход этих вод наблюдался на правобережье Лдана, выше устья р.Артик. Источник восходящий, лебит его достигает 0,5 л/с. Вода сладко-минерализованная (сухой остаток 50 мг/л), очень мягкая (жесткость 0,24 мг·экв/л). По химическому составу она сульфатно-гидрокарбонатная магниево-кальциево-натриевая. Замещение гидрокарбоната-иона сульфат-ионом свидетельствует о связи этого источника с зоной сульфидной минерализации пород. Вода имеет тужий привкус и запах сероводорода. Река достигает 180 мг/л. По химическому составу они гидрокарбонатные среди слабокислых ($\text{pH} = 5,8$). Источники трещинно-жильных вод встречаются также в долинах рек Катлиннак и Немерикан. Источники исходящего типа, лебит их колеблется от 0,02 до 1 л/с. Вода мягкая и умеренно-жесткая (жесткость 1,07–3,45 мг·экв/л), сухой остаток достигает 180 мг/л. По химическому составу они гидрокарбонатные кальциево-магниевые. Среда нейтральная ($\text{pH} = 6,8\text{--}7,3$), вода прозрачная, без цвета и запаха, температура 5–7°.

Для целей водоснабжения в летнее время могут быть использованы поверхностьные воды рек и ручьев. В зимний период пригодны лишь межмерзлотные и, частично, подмерзлотные воды. Однако эти источники не могут рассматриваться в качестве крупных для водоснабжения промышленных объектов.

О ЦЕНКА ПЕРСПЕКТИВ РАЙОНА

Проявления полезных ископаемых в районе сформировались в три металлогенические эпохи: архейской, протерозойской и мезозойской. С архейской эпохой связаны **метатектонические** проявления титано-магнетита в габбро-анортозитах, редкоземельная минерализация в пегматитах и метаморфенные проявления графита. В свете современных требований к такого вида сырью в настоящее время эти проявления практического интереса не представляют.

Металлогеническое значение протерозойской эпохи не вполне ясно. На сопредельных территориях [23, 24, 27] в пегматитах, генетически связанных с раннетретородийскими транзитоидами, установлен мусковит, образующий пластинки промышленных размеров. В связях с этим пластинчатым распространением пород нижеследующие горизонты представляют интерес как потенциально мусковитоносные.

Ряд проявлений меди в бассейне Немерикана пространственно тяготеет к выходам верхнепротерозойских лабазов. Не исключено, что столь тесная пространственная притяженность медной минерализации к основным зонам обусловлена их генетической связью, хотя эти

проявления несут явные черты гидротермального происхождения и могут быть вторичными. Работы, проведенные на рудопроявлении Ш-2-3, не могут служить надежным основанием для оценки его перспектив, поскольку поисками охвачена лишь зона окисления. Наличие в последней магнетита, азурита, куприта и самородной меди свидетельствует о возможности локализации на глубине (в зоне вторичного сульфидного обогащения) промышленных скоплений руд. В связи с этим рудопроявление Ш-2-3 рекомендуется для более детального изучения с применением буровых работ.

С Мезовотской металлогенической эпохой связано формирование рудопроявлений полиметаллических руд, молибдена, ртути и золота. Установленные в районе проявления полиметаллических руд относятся к гидротермальному жильному типу. Четкой генетической связи этих рудопроявлений с определенными интрузивными комплексами не установлено. Спектральный анализ проб из ульсских и джульбарских гранитоидов фиксируется равные содержания меди и синьи, но гранитоиды джульбарского комплекса содержат, кроме того, молибден и цинк. Большинство шлиховых и металлометрических ореолов рассечения полиметаллов приурочено к экзо- и эндоконтактовым частям массивов под джульбарского комплекса. В связи с этим можно предположить, что полиметаллическая минерализация генетически связана с ними. Жильный тип полиметаллического оруднения и низкие содержания полезных компонентов позволяют определить эти проявления как бесперспективные. Однако наличие в этих жилах совместно с полиметаллическими рудами золота позволяет рассматривать их как косвенный признак золотого оруднения.

Проявления молибдена в изученном районе крайне незначительны по своим масштабам и содержанию металла. Они приурочены к экзо-контакту Икандинского массива гранитоидов джульбарского комплекса или связаны с кварцевыми жилами и зонами катаклаза в породах раннего докембрия. Перспективы изученного района на данный вид минерального сырья оцениваются отрицательно.

Рудопроявления ртути приурочены к зонам крупных разрывных нарушений северо-восточного или субмеридионального простирания, по которым контактируют вулканогенно-садочные образования джелонской синклиниории с породами архей и верхнего протерозоя. Проявление Ш-2-2 было рекомендовано для дальнейших детальных работ на основании ряда диагностических геологических факторов. К ним относятся: наличие двух тюбэй с различными физико-химическими свойствами слагающих их пород (эфузиивы и известняки), контактирующих по разрывному нарушению; стабильное попутное падение (35–45°) симметричной длины, которая является рудопроводящей и рудоконструирующей структурой, видимо, является рудопроявление

турой; падение симметрии под $\approx 45^\circ$, которые могли служить акционом для рудоносных растворов, о чем косвенно свидетельствует гидротермальная переработка эйнзитов вблизи разлома; гидротермальная переработка известняков, находки в делювии рудных обломков и пород, содержащих вкраепленность и прожилки киновари. Встречие более детальными работами рудного тела с моломинеральной киновари, монокристальный характер ртутного оруднения свидетельствуют о немалом зрационном срезе рудной зоны. Все это позволяет рассматривать рудопроявление Ш-2-2 как весьма перспективное.

В свете изложенного выше, шлиховой ореол киновари (Ш-2-4) в среднем течении Немиркан площадью около 500 km^2 представляет значительный интерес. Он охватывает территорию, благоприятную в геологическом и тектоническом отношении для локализации практических интересных проявлений ртути. Особенно перспективны участки ореола, где на поверхность выведены блоки архейских и верхне-протерозойских пород.

Проявления золоторудной минерализации связаны с кварцевыми жилами, которым присущ, как правило, полиметаллический характер оруднения. Они приурочены к эндо- и экзоkontактам массивов гранитоидов джульбарского комплекса. Однако обнаружение золота в шлиховых пробах, отобранных в поле развития вулканогенных образований джульбарской синклиниории, не исключает генетической связи золоторудного оруднения также и с эндогенной деятельностью. Наиболее интересным представляется рудопроявление I-4-3, где геологическая обстановка, результаты шлихового и металлометрического опробования указывают на возможность локализации практических интересных проявлений золота.

Обзорными поисками россыпного золота в бассейне р. Джана [26] установлены следы золотоносность аллювия водотоков. В долине р. Арты из ГЗ скважин лежи в двух отмечены содержания золота равные $6,7$ и $22,5 \text{ mg/m}^3$ на массу мощность $2,2$ и $5,4 \text{ m}$. В аллювии р. Ик-тапса на ту же массу установлено от $7,5$ до $22,8 \text{ mg/m}^3$, а в долине р. Ляна – $1-6 \text{ mg/m}^3$. Наиболее перспективными на россыпное золото представляются долины рек Немиркан и Мурин-Онкан. Они характеризуются хорошей разработанностью, наличием комплекса разновозрастных террас и пологим продольным профилем в среднем и нижнем течении. Эти факты в сочетании с установленной законом золотоносность современного аллювия этих рек почти на всем их протяжении создают благоприятные предпосылки для поисков золота.

На основании геолого-структурных факторов и признаков рудной минерализации на территории выделены следующие площасти, перспективные на различные виды полезных ископаемых (рис. 3):

70

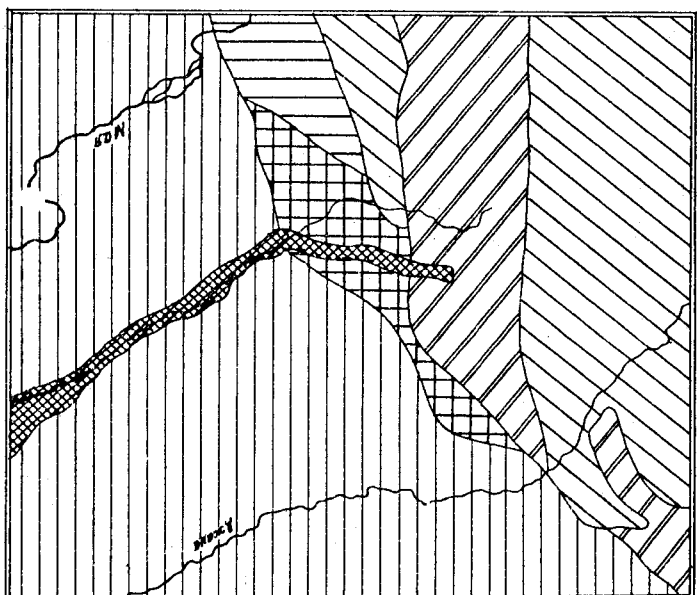


Рис.3. Схема протозов

I - площадь распространения архейских метаморфических и интрузивных образований перспективная на железо, титан, редкие земли, графит.
Площадь (2) распространения верхнепротерозойских вулканогенно-карбонатных образований перспективна на медь, ртуть, золото, полиметаллические руды. Она охватывает бассейны рек Мая, Немерикан, Дчана и включает рудопроявления золота (I-4-3) и шилковые сростки киновари (III-2-4), золота (I-4-2).
Площадь (5) распространения верхнепротерозойских вулканогенно-карбонатных и верхнемирских-раннемеловых вулканогенно-осадочных образований перспективна на медь, ртуть, золото, полиметаллические руды. Она охватывает бассейн среднего течения р. Немерикан и включает рудопроявления меди (III-2-3, II-2-1, III-2-1), ртути (III-2-2), синита (III-2-1) и шилковой ореол золота (II-3-1).
Площадь (6), охватывающая долины рек Немерикан и Мурин-Оникон, перспективна на россыпное золото. К верховым р. Мурин-Оникон приурочен шилковой ореол золота (II-3-1).

Л И Т Е РАТУРА

О П У Б Л И К О В А Н Н А Я

- Г. БЕЛЬТЕНЕВ Г.Б., ЛЕБЕДЕВ Е.И. Новые данные о возрасте вулканогенных образований Западного Прикоктолья. Докл.АН СССР, т.182, № 2, 1968.
2. БЕЛЬТЕНЕВ Е.Б., ЗОЛОТОВ М.Г., ОНИХИМОВСКИЙ В.В., ПЛОТИНКОВ И.А., ШАПОЧКА И.И. Тектонические структуры Хадаровского края и Алтской области, их развитие в мезозое и кайнозое. "Мезозойский тектогенез". Магадан, 1971.
3. ТАЛАДЖИ В.Н. Государственная геологическая карта СССР масштаба 1:200 000. Серия Дальневосточная. Лист № 53-Г. 1963.
4. ГОЛОВКО В.С. Карта нормального магнитного поля и карта гравификсов ат территории листа № 53-Г. 1962.
5. ДЖИНАНОВСКИЙ Ю.К. Геология западной окраины Станового хребта. Бюлл. ВСГЕИ, № 1, 1959.

Площадь (1) в бассейнах рек Ульчный, Иктанда, Артык и в низовьях р.Джинку, где распространены архейские метаморфические и интрузивные образования, перспективна на железо, титан, редкие земли, графит.

Площадь (2) распространения верхнепротерозойских вулканогенно-карбонатных образований перспективна на медь, ртуть, золото, полиметаллические руды. Она охватывает бассейн рек Мая, Немерикан, Дчана и включает рудопроявления золота (I-4-3) и шилковые сростки киновари (III-2-4), золота (I-4-2).

Площадь (5) распространения верхнепротерозойских вулканогенно-карбонатных и верхнемирских-раннемеловых вулканогенно-осадочных образований перспективна на медь, ртуть, золото, полиметаллические руды. Она охватывает бассейн среднего течения р. Немерикан и включает рудопроявления меди (III-2-3, II-2-1, III-2-1), ртути (III-2-2), синита (III-2-1) и шилковой ореол золота (II-3-1).

Площадь (6), охватывающая долины рек Немерикан и Мурин-Оникон, перспективна на россыпное золото. К верховым р. Мурин-Оникон приурочен шилковой ореол золота (II-3-1).

6. ЗУБКОВ В.Ф. Государственная геологическая карта СССР

масштаба 1:200 000. Серия Джульбарская. Лист №-53-ГУ. М., "Недра", 1962.

7. ИВАНОВ Ю.А., КРАСНЫЙ Л.И. Стратиграфия. Верхняя юра и нижний мел. Западное Приобье. "Геология СССР", т. XIX, 1966.

8. КОЛДИНСКИЙ Д.С. Докембрий Алданской плиты и хребта Становьего. "Стратиграфия СССР", т. I, изд. АН СССР, 1939.

9. КОРНЮКОВСКИЙ С.П. О возрасте метаморфических пород западной части Станового хребта. Тр. Вост.-Сиб. геол. ин-та АН СССР, серия геол., вып. 5, 1962.

10. КРАСНЫЙ Л.И. Объяснительная записка к Государственной геологической карте СССР масштаба 1:1 000 000. Лист №-53 (Шантарские о-ва). 1955.

11. КРАСНЫЙ Л.И. Геология и полезные ископаемые Западного Пржохотья. 1960.

12. КРАСНЫЙ Л.И. Тектоника. "Геология СССР", т. XIX, 1966.

13. ЛЕННИКОВ А.М. Петрология Джульбарского амфиболовитого мас-сера. М., "Недра", 1968.

14. МОШКИН В.Н. Докембрий. Хребты Становой и Джульбар. "Тео-логическое строение", т. 3, 1958.

15. МОШКИН В.Н., ШАК Н.С. Раннедокембрейские метаморфические образования восточной части хр. Станового и южной части хр. Джульба-ра." Докембрий восточных районов СССР". Тр. ВСЕГЕИ, нов. серия, т. 122, 1967.

16. МОШКИН В.Н., ДАГЕЛЬСКАЯ И.И., ЗЛЕНКО Н.Д. Раннедокембрей-ские метаморфические образования хр. Джульбара и восточной части хр. Станово-го. "Докембрий восточных районов СССР". Тр. ВСЕГЕИ, нов. серия, т. 122, 1967.

17. НАГИБИНА М.С. Тектоника и математико-статистический анализ геологического строения хр. Джульбара и восточной части хр. Станово-го. Тр. Докембрий восточных районов СССР. Тр. ВСЕГЕИ, нов. серия, т. 122, 1967.

18. СУЛОВИКОВ Н.Г., НЕЕЛОВ А.Н. О возрасте Станового комплекса. Тр. Докембрий СССР, вып. 12, 1961.

19. ТУТАРНОВ А.Н., ВОЛЖЕВИЧ Г.В. Докембрейский геокарноло-тический материал. М., "Недра", 1970.

20. ШАХНОВ В.В. Государственная геологическая карта СССР мас-штаба 1:200 000. Серия Джульбарская. Лист №-53-Ш. М., "Недра", 1962.

21. ШАХНОВ В.В. Государственная геологическая карта СССР мас-штаба 1:200 000. Серия Джульбарская. Лист №-53-Л. 1963.

ФОНДОВАЯ

22. БРАТЫШКИН С.М. Государственная геологическая карта СССР масштаба 1:200 000. Серия Устьская. Лист №-53-Ш. 1967, № 0327.

23. ВАСКИН А.Ф. Государственная геологическая карта СССР масштаба 1:200 000. Серия Джульбарская. Лист №-53-Ш. 1971, № 0557.

24. ГОЛДЕНЧИК Б.Л. Государственная геологическая карта СССР масштаба 1:200 000. Серия Джульбарская. Лист №-53-Ш. 1971, № 0556.

25. ГОНДАРОВ В.Н., КОЗЫРЕВА И.В., ЛАВШУК В.П., ЛЕТИНЕНКО А.В. Теологическое строение и полезные ископаемые бассейнов рек Немеринки и Дланы. 1971, № 014507.

26. ДУБРОВНИК М.И., МЕЛЬНИКОВА Н.С. Отчет о результатах поисков россыпных месторождений золота в бассейне р.Улы (рр.Нелькан, Мелькан, Ногали, В.Эльга, Кононий, Дланы). 1967, № 012382.

27. КАРСКОВ Л.П. Государственная геологическая карта СССР масштаба 1:200 000. Серия Становая. Лист №-52-Л. 1970, № 0501.

28. ЛЕВЧЕНКО В.А., РАКОВ Н.А. Теологическое строение бассейнов рек Дланы Немеринки и Мая (Половинной). 1954, № 04462.

29. МАЛИНОВ В.С. Отчет о результатах гравиметрической съемки масштаба 1:1 000 000, проведенной в бассейнах рек Мая (Алданский) -Ула Приобьской партией в 1965-1966 гг. 1966, № 012025.

30. ОРИОВ В.И., ДЕНКОВ С.В. Отчет о результатах геолого-поисковых работ на ручье и россыпь золота в бассейнах рек Кононий, Чеборкан, Лемуя. Нижне-Малкая партия. 1965, № 012018.

31. ФРОЛОВ Ф.С. Государственная геологическая карта СССР масштаба 1:200 000. Серия Устьская. Лист №-53-ХУ. 1967, № 0325.

32. ХЕРБИМОВА Е.Г., ЛАРНОВ В.А., МОРАЛЕВ В.М. Отчет по аэро-матическим работам, проведенным в восточной части Алданского штата (Алданская экспедиция № 2 ВАГТА). 1957, № 05971.

33. ЧЕПИН В.Е., ОРИОВ В.И., СЛОВ В.Ф., ШАРОВ Л.А. Геологическое строение и полезные ископаемые бассейна рек Ульянова и Урица. 1969, № 013421.

34. ЧЕРНЕЦКИЙ В.И., КАРАУЛОВ В.В. Геология, полезные ископаемые и полезные ископаемые западного и северо-западного подберега Ульяновской губы. Лист №-53-Х. 1961, № 08960.

35. ШАЛОЧКА И.И. Отчет о результатах работ Амгуинской партии за 1958-1960 гг. 1961, № 09666.

36. ШЕРБИН Ю.И. Государственная геологическая карта СССР масштаба 1:200 000. Серия Устьская. Лист №-53-ХУ. 1966, № 0332.

¹ Работы, для которых не указано место хранения, находятся в фондах ДВГУ.

Приложение

Список

проявления полезных ископаемых, показанных
на листе №-53-IX карты полезных ископаемых
М-са I:200 000

Индекс клетки на карте	№ на карте	Вид полезного ископаемого и название (местонахож- дение) прояв- лений	Ссылка на литературу (номера по списку ли- тературы)	Примечание
1	2	3	4	5
III-2	3	Медь р.Немерикан	25	В коренном залегании квадратные жилы (1-3 см) в массивах верхнего горизонта, содержащие пластинки самородной меди размером до 1х5x7 см
II-2	1	Правобережье р.Немерикан	25	В коренном залегании трехэтажные известняки на контакте с пачками с содержанием меди 0,03-0,5%.
II-4	1	Левобережье р.Чопко	25	В коренном залегании квартовые жилы с содержанием меди 0,05-1,68%.
II-2	1	Правобережье р.Мурин-Юнок	25	В коренном залегании кварцевая жила с содержанием меди 0,1%.
Сланец				
III-2	1	Правобережье р.Немерикан	25	В коренном залегании трещиноватые известняки на контакте с диабазами с содержанием меди 0,01-0,5%.
Цинк				
I-4	1	Бассейн р.Бирюзовая р.Рутль	25	Шлиховой ореол
II-2	2	Правобережье р.Немерикан	25	В дельтических окварцованных известняков верхнего подгорного яруса с содержанием цинка 0,05-0,5%

Редактор Т.И.Матис

Технический редактор Н.В.Павловская
Корректор Н.А.Судонкина

Сдано в печать 16/X-1978 г. Подписано к печати 9/X-1978 г.
Тираж 1449 Формат 60x90/14 Уч.-изд.л. 5,4 Заказ 0805

Ленинградская картографическая
объединения "Аэрогеология"